Statyuahr N3BECTИЯ

АКАДЕМИИ НАУК АРМЯНСКОЙ ССР

Sthubyuuuu арыльфальшьгр исгри СЕРИЯ ТЕХНИЧЕСКИХ НАУК

theyur

ÉPEBAH

Журнал надается с 1947 г. Выходит 6 раз в год на русском языме

ъприченици и постъц

Արոնց Հ, Տ, (պատ. խմբադրի
Ալեթսենսկի Վ, Վ., Անանյան Ա, Կ.), Ձարոյան Մ, Ա, Հակոբյան Ռ. Ե.,
Սարրզսյան Յու. Լ., Ստակյան Մ, Գ., Տեր-Ազաբե Ի, Ա,
Փինացյան Վ, Վ (պատ.

РЕДАКЦИОННАЯ КОЛЛЕГИЯ

Касын М. В. (ответ. редактор), Аория Г. Т. (зам. ответ. редактора), Алексевский В. В., Ананяя А. К. . Акония Задоли М. А., Пинаджин В. В. (зам. ответ. редактора), Саркисин Ю. Л., Стакии М. Тер-Азарыев П. А.

Ответственный текретары Степанин З. К.



Издательство АН АрмССР.
 Известия АН АрмССР (серия техн. наук), 19-3.

ծեխնիկական գիտութ. սնոկա

XXXVI, Nº 3, 1983

Серпи технических наук

СТРОИТЕЛЬНАЯ МЕХАНИКА

А П. КИРИЛЛОВ, А. В. МИНАСЯН

РАЦИОНАЛЬНОЕ ИСПОЛЬЗОВАНИЕ НЕСУЩЕЙ СПОСОБНОСТИ ДИНАМИЧЕСКИХ СИСТЕМ ПРИ КОМБИНАЦИОННОМ ПОВРЕЖДЕНИИ

Существующие методы оценки несущей способности конструкций за пределом упругости можно разделить на две основные группы. Первые устанавливают критерии с учетом зависимости «напряжение деформации» и наиболее распространены при статических воздейстниях. Вторые позволяют оценить несущую способность системы с помощью функции повреждаемости, при обоснованном значении которой имеет место полное разрушение. Поведение конструкции и элементов за преместо полное разрушение. Поведение конструкции и элементов за премазрушения. В случае пластических воздействиях зависит от характера разрушения. В случае пластических течений основным фактором повреждаемости является перераспределение усилия, а при хрупком разрушении — перераспределение энергии [1, 2]. Экспериментальные исследования [3—6] показали, что циклическое повреждение зависит от числа циклов нагружения. В наиболее общем виде функцию повреждаемости можно представить следующим образом:

$$\delta V_s = V_s (\delta V_{st}, \delta W_{st}, \delta N_{st}, V_s, W_s, N_s, R_s, \epsilon),$$
 (1)

где W_k — скачок скоростй при скачкообразном разрушения; δW_{kf} — величина пластического смещения; δN_{kf} — число циклов нагружения, при котором существует циклическая повреждаемость; V_k . W_k — соответствению, скорость, смещение и число циклов нагружения; R_k — реакция в точке k; т— нараметр яремени; N— степень свободы системы: $k=1,2,3,\ldots,N$.

Повреждаемость является функцией, зависящей от параметров δV_{sr} , δN_{rr} . В упругой стадии колебания эти параметры равны нулю и возрастаю с появлением повреждаемости:

$$\delta V_{M} > 0; \quad \delta W_{M} > 0; \quad \delta N_{M} > 0.$$
 (2)

С учетом компонентов повреждаемости, зависимость (1) можно представить в виде:

$$\delta \Psi_{k} = \Psi_{k0} \left(V_{k}, \pm R_{k} \right) \delta V_{kf} + \Psi_{kc} \left(W_{kf} \pm R_{k} \right) \delta W_{kf} + \dots$$

$$\pm \Psi_{kR} \left(N_{c}, \pm R_{k} \right) \delta N_{kf}$$

$$(2')$$

Если неравенство (2) нополностью сохраняется, то Ψ_{*} носит квазикомпонентный характер:

$$\frac{\partial \Psi_{k}}{\partial V_{kf}} = \Psi ; \qquad \frac{\partial \Psi_{k}}{\partial W_{kf}} = 0; \qquad \frac{\partial \Psi_{k}}{\partial W_{k}} = 0;$$

$$\frac{\partial \Psi_{k}}{\partial V_{kf}} = 0; \qquad \frac{\partial \Psi_{k}}{\partial W_{kf}} = \Psi ; \qquad \frac{\partial \Psi_{k}}{\partial N_{kf}} = 0;$$

$$\frac{\partial \Psi_{k}}{\partial W_{kf}} = 0; \qquad \frac{\partial \Psi_{k}}{\partial N_{kf}} = 0;$$

$$\frac{\partial \Psi_{k}}{\partial W_{kf}} = 0; \qquad \frac{\partial \Psi_{k}}{\partial N_{kf}} = \Psi_{kN}.$$
(3)

Совместно решая уравнения (2) и (3), получим:

$$\frac{\partial \Psi_{k}}{\partial V_{kf}} = \Psi_{k} \qquad (4)$$

$$\frac{\partial \Psi_{k}}{\partial W_{kf}} = \Psi_{kN} (N_{k+} :, R_{k}).$$

Зависимости (4) показывают, что компоненты повреждаемости зависят от ${}^{*}W_{kl}$, ${}^{*}N_{kl}$, п если (4) линейные, можно записать:

$$\frac{1}{\delta W_{kf}} = \xi_{kN} \Theta_{ok} (\Psi_k);$$

$$\frac{\delta \Psi_k}{\delta N_{kf}} = \xi_{kN} \Theta_{ok} (\Psi_k),$$
(5)

где $\mathbf{t}_{\mathbf{k}\alpha}$, $\mathbf{t}_{\mathbf{k}\alpha}$, $\mathbf{t}_{\mathbf{k}N}$ — константы.

Интегрируя уравнения (5), получим характеристики полной повреждаемости:

$$\begin{split} \{V_{kf}\} &= \int\limits_{0}^{\infty} \frac{\delta \Psi_{k}}{\xi_{kv} \, \Theta_{ok} \, (\Psi_{k})} \,, \qquad \{W_{kf}\} = \int\limits_{0}^{\infty} \frac{\delta \Psi_{k}}{\xi_{kN} \, \Theta_{ok} \, (\Psi_{k})} \,, \\ \{N_{kf}\} &= \int\limits_{0}^{\Psi_{kN}} \frac{\delta \Psi_{k}}{\xi_{kN} \, \Theta_{ok} \, (\Psi_{k})} \,. \end{split} \tag{6}$$

Из уравнения (2') имеем:

$$\int_{0}^{W_{f}} \delta \Psi_{k} = \int_{0}^{V_{k}} \Psi_{kw} \delta V_{kf} + \int_{0}^{W_{k}} \Psi_{kw} \delta W_{kf} + \int_{0}^{N_{k}} \Psi_{kN} \delta N_{kf}.$$
 (7)

После подстановки (4)-(6) в (7) получим:

$$1 = \frac{V_{sf}}{\{V_{sf}\}} + \frac{v_{sf}}{\{W_{sf}\}} + \frac{v_{sf}}{\{N_{sf}\}}$$
 (8)

Уравнение (8) установливает связь между нараметрами повреждает При расчете сооружений и конструкции на динамические воздействия допусквотся частичные повреждения, иссвязанные с обрушением
иссущих каркасов. В допускаемых пределах пояреждаемости следует
установить зависимости между жесткостями и кинематическими параметрами инижения Зависимость $V_{s_i}(\Delta B_s)$ была получена на уравнения энергохарактеристики системы, которое и пропессе разрушения
имеет вид:

$$\sum_{i=1}^{N} \{0.5\Phi^{2}_{a} M_{i} V_{ef}^{2} + \Phi_{ia}^{*} M_{i} (V_{ef} Q_{e} + Q_{o}) + \Phi_{ia} M_{i}$$

$$+ \Phi_{ib} M_{i} (V_{ef} Q_{e} + V_{e} Q_{o}) + 0.5 \Delta B_{b} Q_{e}^{2} =$$

$$= \sum_{p=1}^{N} \sum_{k=1}^{N} \left[\sum_{k=1}^{N} \left[\sum_{i=1}^{N} Q_{i} (\xi_{p}) + \Phi_{ia} M_{i} Q_{e} (\xi_{p}) + \Phi_{ia} M_{i} Q_{o} (\xi_{p}) - \Phi_{ia} M_{i} Q_{o} (\xi_{p}) + \Phi_{ia} M_{i} Q_{o} (\xi_{p}) - \Phi_{ia} M_{i} Q_{o} (\xi_{p}) -$$

гле M — сосредоточенная масса в точке; — г — время разрушения; Φ_{tr} — собственные функции: ΔB — изменение жесткости; $Q_{r}(\varepsilon_{p})$ координата Лагранжа II рола; $Q_{0}(\varepsilon_{p})$ — характеристика внешнего воздействия.

В предельном состоянии, когда время разрушения $P(z_1-z)\to 0$, носле некоторых преобразонаний из (9) получим:

$$V_{sj} = \dot{Q}_{k} \left\{ \left[1 + \Delta B_{k} Q_{k}^{2} \left[\left(\sum_{l=1}^{N} \Phi_{lk}^{2} M_{l} \right) V_{k}^{2} \right]^{-1} \right]^{-1/2} - 1 \right\}.$$
 (10)

При учете упруго-пластического движения скачок ускорения определяется.

$$V_{aj} = \Delta B_a Q_{aj} \left(\sum_{i=1}^{N} \Phi_{ia}^{j} M_i \right)$$
, (11)

а при чисто пластическом течения V, определяется по следующей формуле:

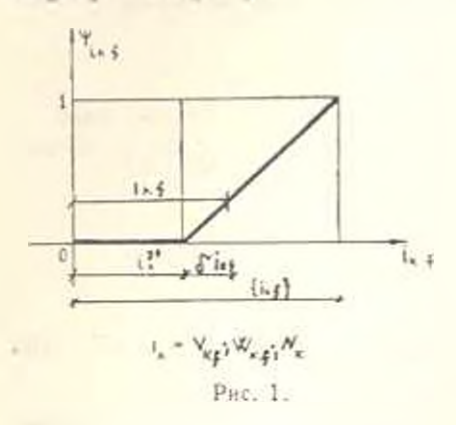
$$\hat{V}_{kf} = R_{ci} \left(\sum_{i=1}^{N} \Phi_{ci}^{1} M_{i} \right)^{-1}, \tag{12}$$

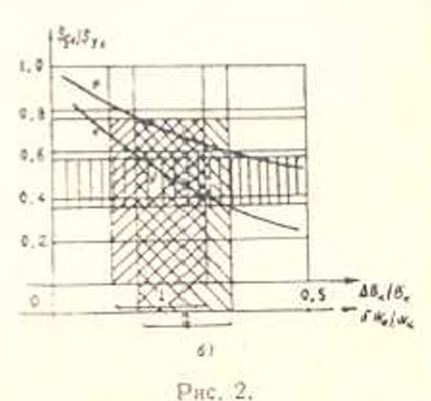
где $R_{\tau s}$ — предельное усилие.

С учетом формулы (11) и (12) величина пластической деформациа определяется решением дифференциальных уравнений движения. Определение зависимости $(B_{\mathfrak{p}})$ теоретическим путем латруднено и она может быть достаточно точно выведена экспериментально [3—6]

При частном случае Сыли исследованы изменения усилий, действующих на сооружение с учетом повреждаемости, обусловленной пластическим течением и хрушким разрушением [7]

На рис. 1 представлена зависимость $\Psi_{t_{sf}}$ t_{st} $(t_{sf}=V_{sf},N_{sf})$. Изменения усилня $S_{sg}=C_{sg}=C_{sg}=C_{sg}$ соответственно, усилия в стадии повреждения и упругой стадии) в зависимости от $S_{sg}=C_{sg}$ и приведены на рис. $S_{sg}=C_{sg}$





Как видно из графиков, наиболее рациональной областью использования несущей способности системы является область P^* , и пределах которой имеется комбинационное повреждение. Практически достигнуть комбинационных разрушений можно вутем применения комплекса элементов, часть из которых способна пластически деформироваться, а другая — квазихрупко повреждаться. Например, при наличии хрупких панельных конструкций можно применять такие узловые металлические элементы, которые наиболее склонных к пластическому повреждению, а также сочетание железобетонных каркасов с металлическими

5 IX. 1982

դրեկՄիդկկկն ՀԱՄԱԿԱՐԳԵՐԻ ԿՐՈՂՈՒՆԱԿՈՒԹՅԱՆ ՌԱՑԻՈՆԱԼ ՕԳՏԱԳՈՐԾՈՒՄԸ ԶՈՒԳԱԿՑՎԱԾ ՎՆԱՍՎԱԾՔԻ ԳԵՊՔՈՒՄ

Ամվահարում

Հոդվածում ուսումնասիրվում են զուղակցված վնասվող դինամիկ համակարգեր։ Գլաստիկ, փիւրուն և ցիկլային վնասվող համակարգերը բնութագրըվում է զուգակցված վնասվող ֆունկցիայի միջոցով, որը ներկայացված է (1)
տեսքով։ Վնասվածքի ֆունկցիայի համար առկա են մասնակի դեպքեր։ Համապատասխան փիսրուն և պլաստիկ վնասվածքները ընութագրող պարամետբերը ստացվել են Էներգորալանսի և Լագրանժի 2-րդ սեռի հավասարումներից։
Մասնակի դեպքի համար, երը ցիկլային վնասվածքը բացակայում է, բերված
ւ դինամիկական համակարգում ուժերի փոփոխման դրաֆիկը։

Այ<mark>խատանքի վերջում ներ</mark>կայացվում է ժեթոդիկա ղուդակ**ց**ված վնասվող <mark>դինաժիկական համակարդ</mark>երի կրողունակության ռացիոնալ օգտագործման համար։

ЛИТЕРАТУРА

- 1. H. Lieb witz (Ed.) Fracture, vol. 1—7, New-York, Academic Press, 1968—1972.—470 с. 2. Я. М. и др. Адангивные системы сейсмической защиты сооружеский.—
- М., Наука, 1978.— 246 с
- 3 Гохфельд Д. А., Чернявский О. Ф. Песуцыя способность конструкций при повторвых нагружениях.— М.: Машиностроение, 1979.— 340 с.
- Кираллов А. И. Выносливость гидротехнического железобетона.— М : Энергии.
 1978.—272 с.
- 5. Серенсев С. В. и др. К основам расчета на прочность при малошикловом патружения. Машиноведение, 1972. № 5, с. 22—38
- Koffla K. F. Cyclic strain and Fatigue Behaviou of Metals in Creep Range. Proc. of the Int. Conf. on Fracture, 1966, v. 3, 271-312.
- Кириллов А. П. Дарбинки С. С. Минасчи 4. В. Сейсмастойкость упруго-пластических систем в разрывамии характеристиками.—ДАН АрмССР, 1982, № 2. 85—90.

Sեխնիկական գիտութ. овтры XXXVI, № 3, 1983 Серия технических поуп

ЭНЕРГЕТИКА

ш а элмаян

РЕШЕНИЕ ОДНОЙ ЗАДАЧИ ОПТИМИЗАЦНИ С ЗАПАЗДЫ-ВАЮЩИМ УПРАВЛЕНИЕМ МЕТОЛОМ ДИПАМИЧЕСКОГО программирования

В проблеме оптимизации совместной работы электростанций в сложной энергосистеме важное место занимают системы с каскадно-расположенными ГЭС Как правило, в процессе оптимизации режимов таких систем преисбрегается запаздыванием в управлении, связанным с учетом времени добегания волны с верхних ступеней каскада на нижние. В пастоящей работе рассматривается задача оптимизации режима работы сложной энергосистемы с каскадно-расположенными ГЭС, когда учитывается время добегания волны. Задача решается методом динамического программирования. Численный пример реализован на ЭВМ для системы с реальными характеристиками.

1. Пусть рассматриваемая управляемая система имеет ТЭС и п каскадно-расположенных ГЭС. Состояние рассматриваемой энергосистемы в каждый момент времени 1 характеризуется действительными параметрами фазового пространства $V(V^0, V^1, ..., V^{n-1})$ с говничными условиями:

$$V^{i}(t_{0}) = V^{i}_{\text{nage}}; \qquad V^{i}(t_{1}) = V^{i}_{\text{son}},$$
 (1.1)

где V' — объем воды в водохранилище ι -ой ГЭС.

В качестве управляющих переменных приняты мощности теплостанции и гидростанций с областями управления:

$$P_{\min} \leqslant P \leqslant P \qquad ; \qquad \Lambda_{\min} \leqslant N \leqslant N_{\max}^{4}$$

$$(1.2)$$

$$(t = 0, 1, 2, \dots, n-1).$$

где P_{\min} , P_{\max} , N_{\min} , N_{\max} — соответственно, минимальная и максимальная мониости ТЭС и ГЭС.

Работа водохранилиш описывается системой дифференциальных уравнений [1]:

$$\begin{cases} \frac{dV^{t}}{dt} = -Q^{t}(t) + q^{t}(t) - \Pi^{0}(t); \\ \frac{dV^{t}}{dt} = -Q^{t}(t) + q^{t}(t) - \Pi^{t}(t) + Q^{t-1}(t - \tau^{t}), \\ t = 1, 2, ..., n - 1. \end{cases}$$
(1.3)

где Q'(t) — расход воды на i-ой ГЭС; q'(t) — приток воды в водохранилице i-ой ГЭС; 1l'(t) — потери воды из водохранилища i-ой ГЭС; -l' — время добегания волны с (l-1)-ой ступени на l-ую ступень каскала.

Определение времени добегания волны в зависимости от расхода воды, геометрических и физических характеристик годотоков не является делью настоящей работы. В рассматриваемой задаче время добегания волны для каждой ступени каскада принимается постоянным. Критернем оптимальности принят минимум расходов условного топлива по системе в течение цикла регулирования:

$$J = \int_{t}^{t_{s}} B(P(t)) dt = \min, \qquad (1.4)$$

гле В — расход условного топлива в ТЭС.

При этом в каждый момент времени должен соблюдаться баланс мощностей:

$$P(t) + \sum_{i} N^{i}(t) = N_{c}(t) + L(t),$$
 (1.5)

где $N_{\rm c}$ (t) — нагрузка системы; L (t) — потери в линиях электропсредачи.

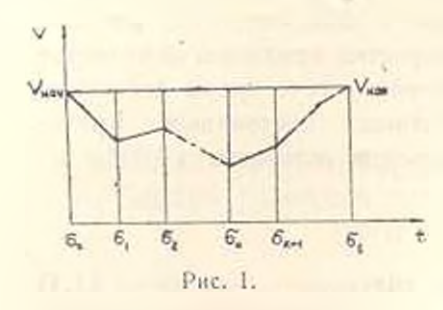
Поставленную задачу в терминах теории оптимального управления можно сформулировать следующим образом: среди всех допустимых управлений (1.2) системы, переводящих фазовую точку из положения $V_{\text{ком}}(V^0(t_0),\dots,V^{n-1}(t_0))$, в положении $V_{\text{ком}}(V^0(t_1),V^1(t_1),\dots,V^{n-1}(t_1))$, найти такое, для которого функционал (1.4) принимает наименьшее возможное значение. Отметим, что в силу уравнения баланса (1.5), используя функциональную зависимость $N^t(t) = N^1(Q^1(t))$, условие (1.4) можно представить в виде:

$$J = \int_{t_0}^{t_0} B(N^0(t), \dots, N^{n-1}(t)) dt = \int_{t_0}^{t_0} B(Q^0(t), \dots, Q^{n-1}(t)) dt. \quad (1.6)$$

Аналогичная задача рассмотрена в [1], где использован принцип максимума Л. С. Понтрягина [2]. В настоящей статье алгоритм построения оптимального решения основывается на методе динамического программирования [3], обобщенного для случая запаздывания в управлении.

2. Для решения задачи проведем в (n+1)-мерном пространстве (V,t) гиперплоскости \mathfrak{a}_k : $t=k\Delta t,\ k=0,\ 1,\dots,s,$ где $\Delta t=(t_1-t_0)/s=$ шаг численного интегрирования; s= число интерналов времени, которое может быть выбрано достаточно большим для достижения требуеной точности решения (рис. 1).

Рассмотрим фазовую траекторию Γ , которая описывается системой дифференциальных уравнений (1.3) при векотором управлении. Обозначим через V точки, в которых фазовая траектория пересекается с плоскостью введем оператор M (V_{\bullet} , V_{\bullet}), который



точкам $V_{\mathbf{k}}$ и $V_{\mathbf{k},\mathbf{q}}$ ставит в соответствие управление, переводящее систему за время Δt из состояния в состояние $\mathbf{q}_{\mathbf{k}}$ и участок траектории $\Gamma_{\mathbf{k}}$ соединяющий эти точки.

Представим нараметр запаздывания τ' в виде $v' = v' \Delta t$, i = 0, 1, ..., n - 1, где $\tau^0 = v^0 = 0$, v' нагуральные числа. Очевидно, что с учетом запазды-

вания в управнении и дифференциальных уравнений состояние системы (1.3), соотношения, описывающее соответствие при помощи оператора M-между точкими $V_{\bf k}$, $V_{\bf k}$ управления с траскторией можно записать в виде:

$$(Q_k, Q_k, \Gamma_k, \dots, \Gamma_k, \dots) = M(V_k, V_k, \dots, V_k, V_k, \dots)$$
 (2.1)

где приняты следующие обозначения:

$$Q_{k} = Q_{k} (Q_{k}^{j}, Q_{k}^{1}, \dots, Q_{n-1}^{-1});$$

$$\bar{Q}_{k} = \bar{Q}_{k} (Q_{k}^{0}, Q_{k}^{1}, \dots, Q_{k}^{n-1}); \qquad \bar{Q}_{k}^{j} = \bar{Q}_{n-1}^{j-1};$$

$$\bar{\Gamma}_{k, k+1} = \bar{\Gamma}_{k, k+1}^{j} (\bar{\Gamma}_{n}^{0}, \dots, \bar{\Gamma}_{n-1}^{n-1});$$

$$\bar{\Gamma}_{k, k+1}^{j} = \bar{\Gamma}_{k, k+1}^{j-1} (\bar{\Gamma}_{n}^{0}, \dots, \bar{\Gamma}_{n-1}^{n-1});$$

$$\bar{V}_{k}^{j} = V^{j-1}, \quad \bar{\Gamma}_{n}^{j} = V^{j-1};$$

$$\bar{V}_{k}^{j} = V^{j-1}, \quad \bar{\Gamma}_{n}^{j} = V^{j-1};$$

Функционал (1.6) в этом случае можно преобразовать к виду:

$$=\sum_{k=0}^{-1}\int_{t_{k}}^{t_{k+1}}B_{k}\left(\Gamma_{k,\;k+1},\;Q_{k}\;,\;\overline{\Gamma}_{k,\;k+1}\;,\;\overline{Q}_{k}\right)dt=\\ \sum_{k=0}^{-1}f_{k}\left(V_{k}\;,\;V_{k+1}\;,\;\overline{V}_{k}\;,\;\overline{V}_{k+1}\right)=J\left(V_{k}^{0}\;,\;\ldots\;,\;V_{k}^{0}\;,\;\ldots\;,\;V_{k}^{n-1}\;,\;\ldots\;,\;V_{k}^{n-1}\right).\eqno(2.3)$$

 $I(Q_1^0, Q_1^0, ..., Q_n^0, ..., Q_n^{n-1}, Q_1^{n-1}, ..., Q_n^{n-1}) =$

Исходную задачу можно сформулировать следующим образом: средь всех ломаных, соединяющих фиксированные точки плоскостей о и с и лежащих в допустимой области D. определяемой неравенствами (1.2), найти ту, которая доставляет минимум функционалу (2.3). Если интерпретировать значения функционала (V_k, V_{k+1}) как данну отрезка, соединяющего точки V_k, V_{k+1} , то можно сказать, что задача сводится к отысканию ломаной с наименьшей данной. Таким образом, будем иметь некоторое множество нариантов Е, имеющее мошность континуума, представляющих множество всех ломаных, соединяющих фиксированные точки на плоскостях од и з и лежащих в толустимой области. Или решения аналогичных задач, но без учета фактора запаздывания, предложен алгоритм [4], основное содержание которого состоит в формулировке правил последовательного сужения множества Е конкурентоспособных вариантов. В настоящей работе, используя известный алгоритм [4], строится многошаговый процесс, в котором наряду с «отметанием» некиторого множества вариантов, не содержащих оптимального решения, учитывается запазлывание в управлении, приволящее также к некоторому изменению, по сравнению с обычией, структуры функционала (2.3). Процедура войска одтимального варианта среди всех конкурентоспособных ломаных основывается на следующем. Пусть каждая точка V, Со, соединена с точкой V гиперилоскости ломаной наименьшей длины которую обозначим через T (V_{\bullet} , V_{\bullet}). Тогда длина наиболее короткой ломаной, соединяющей точки V_{s-1} и V_{s} , определяется при помощи соотношения:

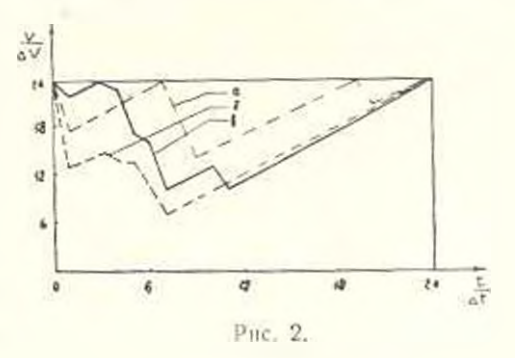
$$T(V_{k+1}, \ \overline{V}_{k+1}) = \min_{V_k} (T(V_k, \ \overline{V}_k) + f_k(V_k, \ V_{k+1}, \ \overline{V}_k, \ \overline{V}_{k+1})),$$

причем все варианты из E_i не содержащие ломаной длины $T(V_{i+1}, \overline{V}_{i-1})$, отбрасываются. На последнем шаге каждой точке

V — σ стапится — соотнетствие число $T(V_0, V_0)$ — длина короткой ломаной, соединяющей точку V_0 с V_0 , после чего минимизируется

$$T = \min (T(V, \overline{V}))$$

и на этом завершается процелура поиска оптимального решения.



3. Численная реализация предложенного алгоритма осуществлена для авух ГЭС каскала и ТЭС, имеюние реальные характеристики. На ЭВМ ЕС—1022 определен режим работы подохранилника верхней ГЭС для случаев: мгионенного управления, т. с. без учета запаздывания т = 0 (рис. 2—линия a), с учетом опаздывания (т = 1 ч и т = 2 ч,

рис. 2- линии δ и θ) при размере сетки по аргументу пременн $\Delta t=1$ и, по аргументу объема воды $\Delta V=12600$ м³, $V_{\bullet}=V_{24}=302600$ м³. Расходы топлива для рассмотренных случаев соответственно равны: 4453,1 m. у. m; 4463,211 m. у. m.; 4461,938 m. у. m.

ЕрПИ им К. Маркса

5 1, 1983

6. Z. HIFRERING

ոՒՇԱՑՈՂ ՂԵԿԱՎԱՐՄԱՄՔ ԹՊՏԻՄԻԶԱՑՄԱՆ ՈՒ ԽՆԳՔԻ ԼՈՒԾՈՒՄԸ ԳԻՆԱՄԻԿ ԾՐԱԳՐԱՎՈՒՄԵՆ ՄԵԹՈԳԻԼ

Udhndinid

Դիսարկվա է կասկացածն անդարը ած իզրովլնկարակա աններով բարդ էներգոհամակարգի աշխատանքի ռեժիմի օպտիմիդացման հարիրը, երբ է առնվում կասկացի վերին աստիճաններից ստորիններին ալիրի հասնելու ժամանակը։ Խնդիրը լուծված գինամիկ թրագրավորման հետոյի Քվային օրինակը որականացված է էլեկտրոնային հայվիչ մերենայի վրա իրական բնունագրեր ունեցող համակարգի համար։

ЛИТЕРАТУРА

- Д. А. Об одной ладаче оптимизации системы с учетом запиздивания по управлению - В ки.. Межнуз, тем. О пауч тр по экономике, Преван 1982, вып 1, стр 61—65.
- Понтрягин Л. С. и др. Математическая теория оптимальных процессов. М.: Паука, 1976.—384 с.
- 3. Беламан Р. Прикладиме задачи динамического программирования М.: Паука. 1965.— 458 с.
- Михалевич В. С. Последовательные дагоритмы оптимизации и их применение.— Кибернетика, 1965. № 1, с. 45—56.

минь фильм. «Агры XXXVI. № 3, 1983 Серия технических наук

ВЫЧИСЛИТЕЛЬНАЯ ТБХНИКА

в к брутян

О СИНТЕЗЕ МАРКОВСКИХ МІРАВЛЯЮЩИХ СИСТЕМ СО СЛУЧАТНО ИЗМЕНЯЮЩИМИСЯ КОЭФФИЦИЕНТАМИ

Восдение. На основании теории условных марковских процессов в винэ отонйэниг, плагая кэтэаційодо вмумиэжам морицинай з инисторов тель марковских управляемых систем (МУС) при стохастической неполной обратной связи В ней предполагнется, ито матрина кожфонциентов состояния и вектор кожффициентов управления являются пуасвоновсками процессами с конечными состояниями, а динамические карактеристики МУС зависят от условные оценок ослояний. Аналис и метод решения поставленной двичи позволяют осуществить синтел илкона управления в условиях несьма малой априорной информации от нисительно состояния МУС и ее характеристик. Для выбора лакона управления выводится система обыкловенных эфференциальных уравнений. Показывается, что закон управления является функцией текуших наблюдения и основывается на виформации о меновенных условных оценок состояния МУС и характеристиках случайных коэффициен-TOB.

Постановка задачи. Пусть МУС описывается некторно-матричным стохастическим диференциальным уравнением [1-5]:

$$dx(t) = A(t)x(t)dt + D(t)x(t)dt + G(t)dE(t)$$

$$x(t_0) = x_0, \quad t \in I_t = [t_0, T].$$
(1)

процесс наблюдения — соотношением:

$$dy(t) = H(t)x(t) dt - dy(t). (2)$$

Здесь х - п-мерный вектор состояния МУС; у - т-мерный вектор наблюдения (т < п); и - г-мерный вектр управления, принадлежаший к классу $ar{U}$ кусочно-непрерывных функций с конечным числом точек разрыва первого вода на любом конечном интервале 1; ; (t) и $\eta(t)$ — независимые винеровские процессы с характеристиками

$$M\{f(t)\} = M\{f(t)\} = 0; \qquad M\{df(t), df'(t)\} = S_{-t}(t) dt;$$

$$M\{f(t), df'(t)\} = S_{-t}(t) dt; \qquad S_{-t}(t) = S_{-t}(t) > 0; \qquad S_{-t}(t) > 0;$$

 $M\{\cdot\}$ математическое ожидание $\{\cdot\}$, а индекс (') обозначает грано понирование. Матрицы G(t) и $H(t) = n \times n$ и $n \times m$ -мерные ограниченные и непрерывные для всех (\cdot) регулярные матрицы. На практике при функционировании МУС некоторые ее подсистемы могут выхолить из строя. В связи с этим пусть каждый элемент $n \times n$ мерной матрицы A(t) и компонент r-мерного вектора D(t) представляют собой пуассоновский процесс с конечным числом состояний [6,7]. Начальное состояние MVC принимается гауссовым с математическим ожиданием $M^{\top}x_0|=x_0$ и корреляционной функцией $M^{\top}(x_0-x_0)\times (x_0-x_0)'|=R_0$, $R_0=0$. Процессы (t), $\pi(t)$ и $\pi(t)$ принимаются независимыми.

Вся имеющаяся апостериориая информация относительно A(t) а D(t) содержится в текущих наблюдениях и в компактном виде се можно представить случайным вектором $\rho(t)$. Пусть событие C(t) заключается в соиместном наступлении обоих событий [A(t)]D(t)] и кажлый элемент матрицы C(t) размера $n \times n + 1$ может принимать лиши некоторое конечное число диежретных значений и пусть существует конечное число таких матриц, r с. случайный вектор $\rho(t)$ имеет размерность t. Иными словами, текущие наблюдения образуют нектор f(t), компоненты $\rho_t(t)$ которого в момент времени $t \in I_t$ представляют собой апостернорную вероятность того, что происходит событие $C_t(t)$.

Закон управления U является функцией техущих наблюдений вопирается на миновенных числовых характеристиках оценки вектора состояния МУС и миновенных значениях случайной матрицы C(t). Таким образом, закон управления U опирается на текущий вектор обрат-

ной связи q(t) = [x(t), R(t), p(t), t], где x и R — числовые харак теристики нектора состояния при неполных и негочных наблюдениях

Из сказанного следует, что управление $u\left(t\right)$ выбирается на осново проводимого наблюдения $a\left(t\right)$, т. е. $u\left(t\right)=U\left[q\left(t\right)\right]$. В отличие от $p\left(t\right)$ и $u\left(t\right)$, которые являются случайными марковскими процессами закон управления U представляет собой регулярную функцию.

Требуется выбрать закон управления U так, чтобы минимизировался функционал качества

$$J = \frac{1}{2} M_i \left\{ x_T^{\dagger} \Gamma_T x_T + \int_{t_0}^{t} \left[x'(z) B(z) x(z) + u'(z) E(z) u(z) \right] dz \right\},$$

гле $B-n \times n$ мерная полуопределенная симметрическая матрица: E>0; M_c математическое ожидание при наличии результатов наблюдений вплоть до момента t. Предполагается, что оптимальное управ-

ление $u^*(t)$ существует и принадлежит к классу функций U.

Обсуждение поставленной задачи. При сделанных предположениях, т. к. описываемая уравнениями (1), (2) МУС является линейной, для опенки текуших значений вектора состояния можно применить известные уравнения динамики непрерывного фильтра Калмана [1—5]:

$$z(t) = A(t)x(t) - D(t)u(t) + k(t)z(t); \quad z(t) \stackrel{\lambda}{=} y(t) - H(t)x(t);$$

$$R = AR + RA' + G'S_{-}G_{-}k'S_{-}k; \quad k(t) = R(t)H'(t)S_{-}^{-1},$$
(3)

в которых A(t) и D(t) во предположению изменяются случанным образом.

Далее пусть марковский процесс p(t) удовлетноряет дифференциальному уравнению $p(t) = f[x(t), R(t), p(t), t], p(t_0) - p_n$ и оптимальный закон управления. Тогда соответствующее этому уравнение оценки вектора состояния (3) защищется и виде

$$x(t) = A(t) x^{*}(t) + D(t) U^{*}[q^{-}(t)], \qquad (4)$$

тде вектор обратной связи имеет вид $q'(t) = \{x, (t), p(t), t\}$. Веномогательный иропесс отличается от уравнения нектора оценки состояния МУС наличием добавочных членов, обусловлениых характером апостерновной информации и утовлетворяет следующему уравнению $\{1-3\}$:

$$\psi(t) = -\{-A^*(t) - [D(t) \operatorname{grad} U^*]\} \psi(t) + B(t) x^*(t) + + E(t) u^*(t) [\operatorname{grad} U^*]'; \qquad \psi(T) = 0,$$
(5)

ври этом гамильтопиан $H = \widetilde{H}(x, 0, U, q, t)$ запишется в виде:

$$\tilde{H} = \sqrt{(t)} [A(t)x(t) + D(t)u(t)] + \frac{1}{2} [x'(t)B(t)x(t) + u'(t)E(t)u(t)].$$
(6)

Если U^* является онтимальным законом управления, то для всех $t \in I$, справедливо неравенство

$$M_{\ell}(\widetilde{H}(x, \omega, U^*, q^*, t), q^*(t)) = M_{\ell}(\widetilde{H}(x, \omega, U, q, t)/q(t))),$$
 (7)

Учитывая условие (7), закон управления можно из выражения (6) представить в виде:

$$U^{\pm}[q^{\pm}(t)] = -E^{\pm}(t)M_{\perp} \mathcal{L}(t)D(t)[q^{\pm}(t)]. \tag{8}$$

Ниже устанавливается специфическое обстоятельство, обусловленное стохастическим характером A(t) и D(t). Для того, чтобы найти авкон управления U предварительно пелесообразно исследовать новрее вычисления веномогательного процесса $\psi(t)$. Его удобиее представить в виде

$$\phi(t) = \Gamma(t) x^*(t). \tag{9}$$

где $\Gamma(t) = m > m$ -мерная матрица, подлежащая определению.

При этом выражение (8) принимает вид:

$$U^*[q^*(t)] = -E^{-1}(t) \langle D'(t)\Gamma(t) \rangle \hat{x}^*(t), \tag{10}$$

где переменные, находящие в < >, определяются условно через реализации случайного вектора обратной связи

$$\langle D'(t) \Gamma(t) \rangle \stackrel{!}{=} M |D'(t) \Gamma(t)|q^*(t)|.$$

Из уравнений (3), (5) можно найти дифференциальное уравнение, которому должна удовлетнорять матрица $\Gamma \triangleq \Gamma(t)$. Подставляя в этя уравнения выражения (9), (10), получаем:

$$\psi = \{ [-A' + \langle \Gamma'D \rangle E^{-1}D'] \Gamma - B - \langle \Gamma'D \rangle E^{-1} \langle D'\Gamma \rangle \} x^*.$$

Это уравнение должно выполняться при любом значении $x^*(t)$, т. е. Г должна удовлетворять дифферсициальному уравнению

$$\Gamma = -A'\Gamma - \Gamma A - B + \Gamma D E^{-1} \langle D'\Gamma \rangle +$$

$$+ \langle \Gamma'D \rangle E^{-1} D \Gamma - \langle \Gamma'D \rangle E^{-1} \langle D'\Gamma \rangle, \quad \Gamma(T) = \Gamma_T.$$
(11)

Петрудно установить, что Г (1) симметрическая. Транспоиируя матрицы в левой и правой части уравнения (11) и учитывая, что В и Е—симметрические матрицы, получаем:

$$\begin{split} \Gamma' &= -A'\Gamma' - \Gamma'A + \Gamma'DE^{-1} \langle D'\Gamma' \rangle + \\ &+ \langle \Gamma D \rangle E^{-1}D\Gamma' - \langle \Gamma D \rangle E^{-1} \langle D'\Gamma' \rangle, \qquad \Gamma(T) = \Gamma_T. \end{split}$$

Отсюда следует, что $\Gamma = \Gamma'$ и уравнение (11) можно перелисать в виде:

$$\Gamma = -A'\Gamma - \Gamma A - \mathcal{B} + 2\Gamma D \mathcal{E}^{-1} \langle D'\Gamma \rangle - \langle \Gamma D \rangle \mathcal{E}^{-1} \langle D\Gamma' \rangle,$$

$$\Gamma(T) = \Gamma_{\tau}.$$
(12)

При синтезе МУС с регулярными коэффициентами это уравнение представляет собой основное уравнение вычисления, т. к. непосредственно возможно проинтегрировать систему обыкновенных дифференциальных уравнений и определить $\Gamma(t)$. В рассматриваемой задаче уравнение (12) нельзя интегрировать непосредственно, т. к. персменные, изходящиеся в $\langle \cdot \rangle$, определяются также через реализации случайного вектора обратной связи. Иными словами, условное математическое ожидание зависит от текущей реализации $q^*(t)$.

Решение задачи. Для того, чтобы получить закон управления U^* , необходимо в явном виде вычислить матрицу $\Gamma(t)$. Для простогы обозначений ниже событие $[C_k(t)]$ записывается в виде $k(t) = [C_k(t)]$. где $k = 1, \ldots, l$, а для условных матемитических ожиданий вводятся обозначения:

$$M \{A'(t) \Gamma(t)/q^*(t), k(t) = A_i \Gamma_k(p(t), t);$$

$$M \{\Gamma(t)/q^*(t), k(t) \mid \stackrel{\triangle}{=} \Gamma_k(p(t), t).$$

Далее, т. к.

$$M\left[\Gamma\left(t\right)/p\left(t\right),\ k\left(t\right)\right] = M\left\{\lim_{t\to\infty} \frac{\Gamma\left(t+\Delta t\right)-\Gamma\left(t\right)}{\Delta t}/p\left(t\right),\ k\left(t\right)\right\},$$

$$E^{-1}\left\langle D'\left(t\right)\Gamma\left(t\right)\right\rangle = -\sum_{t\to1} E_{t}^{-1}\left(t\right)D\left[\Gamma_{t}\left(\rho\left(t\right),t\right)\right]p_{t}\left(t\right)$$

получим:

$$M \prod \{f(p,t), k(t) = \lim_{\Delta t \to 0} \frac{1}{\Delta t} [M \mid \Gamma(t + \Delta t)/p(t), k(t)] - M \mid \Gamma(t)/p(t), k(t)].$$

Поскольку процесс [p(t), k(t)] является марковским, то имеет место соотношение

$$M\left[\Gamma\left(t+\Delta t\right)/p\left(t\right),\ k\left(t\right)\right]=M\left[\Gamma_{i}\left(p\left(t+\Delta t\right),\ t+\Delta t\right)/p\left(t\right),\ k\left(t\right)\right].$$

Отсюда с учетом уравнения (12) вытекает

$$M\left[\Gamma\left(t\right)/p\left(t\right),\ k\left(t\right)\right] = \frac{\partial\Gamma_{+}\left(p\left(t\right),\ t\right)}{\partial t} +$$

$$+\frac{\partial\Gamma_{k}(p(t)-t)}{\partial p(t)}M\{p(t)/p(t), k(t)\}+\sum_{j=1}^{l}\Gamma_{j}(p(t), t)p_{k}(t),$$

где $p_{k,l}(t)$ — априорная переходная нероятность. Объединяя предыдушие уравнения, найдем, что $\hat{\Gamma}_{\bullet} \stackrel{\Delta}{\leftarrow} \bar{\Gamma}(p(t), t)$ удовлетворяет дифференциальному уравнению

$$\frac{\partial \Gamma_k}{\partial t} + \frac{\partial \Gamma_k}{\partial \rho(t)} M \mid \rho(t) / \rho(t), \ k(t) \rangle + \sum_{j=1}^{n} \Gamma_j \rho_{kj}(t) = -A_k \Gamma_k - \Gamma_k A_k - B_k + \frac{\partial \Gamma_k}{\partial \rho(t)} M \cdot \rho(t) \rangle = -A_k \Gamma_k - \Gamma_k A_k - B_k + \frac{\partial \Gamma_k}{\partial \rho(t)} M \cdot \rho(t) \rangle = -A_k \Gamma_k - \Gamma_k A_k - B_k + \frac{\partial \Gamma_k}{\partial \rho(t)} M \cdot \rho(t) \rangle = -A_k \Gamma_k - \Gamma_k A_k - B_k + \frac{\partial \Gamma_k}{\partial \rho(t)} M \cdot \rho(t) \rangle = -A_k \Gamma_k - \Gamma_k A_k - B_k + \frac{\partial \Gamma_k}{\partial \rho(t)} M \cdot \rho(t) \rangle = -A_k \Gamma_k - \Gamma_k A_k - B_k + \frac{\partial \Gamma_k}{\partial \rho(t)} M \cdot \rho(t) \rangle = -A_k \Gamma_k - \Gamma_k A_k - B_k + \frac{\partial \Gamma_k}{\partial \rho(t)} M \cdot \rho(t) \rangle = -A_k \Gamma_k - \Gamma_k A_k - B_k + \frac{\partial \Gamma_k}{\partial \rho(t)} M \cdot \rho(t) \rangle = -A_k \Gamma_k - \Gamma_k A_k - B_k + \frac{\partial \Gamma_k}{\partial \rho(t)} M \cdot \rho(t) \rangle = -A_k \Gamma_k - \Gamma_k A_k - B_k + \frac{\partial \Gamma_k}{\partial \rho(t)} M \cdot \rho(t) \rangle = -A_k \Gamma_k - \Gamma_k A_k - B_k + \frac{\partial \Gamma_k}{\partial \rho(t)} M \cdot \rho(t) \rangle = -A_k \Gamma_k - \Gamma_k A_k - B_k + \frac{\partial \Gamma_k}{\partial \rho(t)} M \cdot \rho(t) \rangle = -A_k \Gamma_k - \Gamma_k A_k - B_k + \frac{\partial \Gamma_k}{\partial \rho(t)} M \cdot \rho(t) \rangle = -A_k \Gamma_k - \Gamma_k A_k - B_k + \frac{\partial \Gamma_k}{\partial \rho(t)} M \cdot \rho(t) \rangle = -A_k \Gamma_k - \Gamma_k A_k - B_k + \frac{\partial \Gamma_k}{\partial \rho(t)} M \cdot \rho(t) \rangle = -A_k \Gamma_k - \Gamma_k A_k - B_k + \frac{\partial \Gamma_k}{\partial \rho(t)} M \cdot \rho(t) \rangle = -A_k \Gamma_k - \Gamma_k A_k - B_k + \frac{\partial \Gamma_k}{\partial \rho(t)} M \cdot \rho(t) \rangle = -A_k \Gamma_k - \Gamma_k A_k - B_k - \frac{\partial \Gamma_k}{\partial \rho(t)} M \cdot \rho(t) \rangle = -A_k \Gamma_k - \Gamma_k A_k - \frac{\partial \Gamma_k}{\partial \rho(t)} M \cdot \rho(t) \rangle = -A_k \Gamma_k - \Gamma_k A_k - \frac{\partial \Gamma_k}{\partial \rho(t)} M \cdot \rho(t) \rangle = -A_k \Gamma_k - \Gamma_k A_k - \frac{\partial \Gamma_k}{\partial \rho(t)} M \cdot \rho(t) \rangle = -A_k \Gamma_k - \Gamma_k A_k - \frac{\partial \Gamma_k}{\partial \rho(t)} M \cdot \rho(t) \rangle = -A_k \Gamma_k - \Gamma_k A_k - \Gamma_k A_k - \frac{\partial \Gamma_k}{\partial \rho(t)} M \cdot \rho(t) \rangle = -A_k \Gamma_k - \Gamma_k A_k - \frac{\partial \Gamma_k}{\partial \rho(t)} M \cdot \rho(t) \rangle = -A_k \Gamma_k - \Gamma_k A_k - \frac{\partial \Gamma_k}{\partial \rho(t)} M \cdot \rho(t) \rangle = -A_k \Gamma_k - \frac{\partial \Gamma_k}{\partial \rho(t)} M \cdot \rho(t) \rangle = -A_k \Gamma_k - \frac{\partial \Gamma_k}{\partial \rho(t)} M \cdot \rho(t) \rangle = -A_k \Gamma_k - \frac{\partial \Gamma_k}{\partial \rho(t)} M \cdot \rho(t) \rangle = -A_k \Gamma_k - \frac{\partial \Gamma_k}{\partial \rho(t)} M \cdot \rho(t) \rangle = -A_k \Gamma_k - \frac{\partial \Gamma_k}{\partial \rho(t)} M \cdot \rho(t) \rangle = -A_k \Gamma_k - \frac{\partial \Gamma_k}{\partial \rho(t)} M \cdot \rho(t) \rangle = -A_k \Gamma_k - \frac{\partial \Gamma_k}{\partial \rho(t)} M \cdot \rho(t) \rangle = -A_k \Gamma_k - \frac{\partial \Gamma_k}{\partial \rho(t)} M \cdot \rho(t) \rangle = -A_k \Gamma_k - \frac{\partial \Gamma_k}{\partial \rho(t)} M \cdot \rho(t) \rangle = -A_k \Gamma_k - \frac{\partial \Gamma_k}{\partial \rho(t)} M \cdot \rho(t) \rangle = -A_k \Gamma_k - \frac{\partial \Gamma_k}{\partial \rho(t)} M \cdot \rho(t) \rangle = -A_k \Gamma_k - \frac{\partial \Gamma_k}{\partial \rho(t)} M \cdot \rho(t) \rangle = -A_k \Gamma_k - \frac{\partial \Gamma_k}{\partial \rho(t)} M \cdot \rho(t) \rangle = -A_k \Gamma_k - \frac{\partial \Gamma_k}{\partial \rho(t)} M$$

$$+2\Gamma_{s}D_{s}\sum_{i}E_{j}^{-1}D_{j}^{i}\Gamma_{j}\rho_{j}(t)-\left(\sum_{i}\Gamma_{i}D_{j}(t)\rho_{j}(t)\right)\left(\sum_{i}E_{j}^{-1}D_{j}^{i}\Gamma_{j}\rho_{j}(t)\right),\tag{13}$$

$$\Gamma_A(p(T), T) = \Gamma_T$$

Решение уравнения (13) связано с определенными трудностями, однако с помощью метода характеристик можно свести к системе обыкновенных дифференциальных уравнений. Ниже вводится обозначение

$$f(p(t), t, k) = M | f(p(t), x(t), R(t), t/p(t), k(t)), k = 1, ..., t$$

н если

$$p(a, k) = f(p(a), k), \quad p(t, k) = p(t),$$

$$p(T, k) = p(T), \quad a \in [t, T],$$
(14)

то уравнение (13) примет вид:

$$\Gamma_{k}(z) = -A_{k}\Gamma_{k}(z) - \Gamma_{k}(z)A_{k} - B_{k} - 2\Gamma_{k}(z)D_{k} \underline{\Sigma} E_{j}^{-1}D^{T}\Gamma_{k}(z)\widetilde{p}_{j}(z,k) - \left(\underline{\Sigma}\Gamma_{k}(z)D_{j}(z,k)\right)\left(\underline{\Sigma}E_{j}D_{j}\widetilde{\Gamma}_{k}(z)p_{j}(z,k)\right) - \underline{\Sigma}\widetilde{\Gamma}_{k}(z)p_{j}(z,k) - \left(\underline{\Sigma}\Gamma_{k}(z)D_{j}\widetilde{\Gamma}_{k}(z)p_{j}(z,k)\right) - \underline{\Sigma}\widetilde{\Gamma}_{k}(z)p_{j}(z,k)$$

$$\Gamma_{k}(T) = \Gamma_{kT}.$$
(15)

Отсюда следует $\Gamma_{a}\left(q\left(t\right),\ t\right)=\Gamma_{a}\left(t\right),$ в оптимальный закон управления принимает вид:

$$U^{*}(p^{*}(t)) = \sum_{i} E_{i}^{i} D_{i} \Gamma_{i}(t) p_{j}(t) x^{*}(t).$$
 (16)

Таким образом, ураничныя (14)—(16) решают поставленную задачу спитела Решения этих раннений лают неслучайные функции и несут исю веобходимую информацию для осуществления управления. Преимущество предлагаемого метода синтеза является то, что уравнеиня (14), (15) труг с другом не внявиы и поэтому могут быть вычислены раздельно, а результаты использованы для реализации закона управления X из раничные словия задриы а точках I и I, грудности, которые возникают при решении граничных задач, в рассматриваемом случае булут отсутствовать, т. к. только в формуле (16) используется текушая информация обратной связи, и тем самым реализация закона управления существенно прощается. Следует также отметить, что ураннения (14), (15) обладают характерными качественными свойствами, по которым можно судить о динамике процесса управления. По уравнению (14) можно выяснить, как закон управления адаптируется к вариациям процесса «правления. Если решение уравнения (14) быстро состигает единичной ступенчатой функции, то решение (15) быстро стремится к уравнению, которое получается в случае неслучайных коэффициентов. Помимо этого, если переходные зероятности да со малы, то уравнение (15) быстро сходится к уравнению Риккати, которое получается при исследовании МУС с регулярными коэффициентами.

Пример. Рассматривается случай, при котором возможно аналитическое решение рассмотренной задачи. Пусть некоторые подсистемы МУС могут инходить из строя, однако уловить момент их отказа не представляется возможным. Задача заключается в том, чтобы вычистить дакой управления t, который, наблюдая повеление МУС и имея в качестве исходной информации априорную вероятность отказов подсистем, минимизировал требуемый функционал качества. Пусть МУС начала функционировать, ког та k=1, т. е. $C(t)=C_{c}(t)$. Это означает, что вначале все полеистемы работают пормально. Если вероятность отказов не зависит от времени, то $p_{a}(t)=[\exp(at)]_{U},\ k,f=[1,t]$.

В этом случае информации о прошлом поведении системы закон управления U не имеет [6, 7] и $p_j(z, k) = [\exp(\alpha z)]_{i+1}$ $j \in [1, l]$. Поэтому необходимо решить только одну систему уравнений

$$\Gamma_{k}(z) = -A_{k}' \hat{\Gamma}_{k}(z) - \Gamma_{k}(z) A_{k} - B_{k} + 2\Gamma_{k}(z) - \sum_{j=1}^{n} E_{j}^{-1} D_{j}' \Gamma_{j}(z) [\exp(az)]_{1j} + \left(\sum_{j=1}^{n} \Gamma_{j} D_{j} [\exp(az)]_{1j}\right) \left(\sum_{j=1}^{n} E_{j}^{-1} D_{j}' \Gamma_{j}(z) [\exp(az)]_{1j}\right) + \sum_{j=1}^{n} \Gamma_{j}(z) \rho_{jk}(z), \qquad \Gamma_{j}(T) = \Gamma_{Tj}, \qquad (17)$$

Закон управления представляется формулой

$$I/^{n}(q^{n}(t)) = -\sum E^{-1}D \Gamma(n) \left[\exp(at)\right]_{1} x^{n}(t).$$
 (18)

Несмотря на то, что уравнення (17) удобны для численного интегрирования. Для исности ниже рассматривается окалярный случай. Пусть A=-1, G=1, x(0)=0, $T=\infty$, B=E=H=1, коэффициент D(t) принимает два дискретных значения 1 и -10 и все функции для поведения D(t) являются постоянными. T=00. Априорные распределения вероятностей принимают вид P(D=1)=p>00. Для решения этой частной задачи стационарные решения уравнения (17) имеют вид:

$$[p(\Gamma_1 + 10\Gamma_2) - 10\Gamma_2]^2 - 2\Gamma_1[10\Gamma_2 + p(\Gamma_1 + 10\Gamma_2) - 1] - 1 = 0;$$

$$[p(\Gamma_1 + 10\Gamma_2) - 10\Gamma_2]^2 - 2\Gamma_2[100\Gamma_2 - 10p(\Gamma_1 + 10\Gamma_2) - 1] + 1 = 0;$$

Вводя новую переменную $\omega=p\,(\Gamma_1+10\Gamma_2)-10\Gamma_2$, можно получить алгебранческое ураннение $10\omega^3-(11\,p+8)\,\omega^2-12\omega-11\,p+10=0$, которому удовлетворяет коэффициент усиления закона управления. Единственное решение этого уравнения имсет вид $\omega=-1.4p+1.3$, а закон управления—

$$U^* (x^* (t)) = -(1.4p - 1.3) x^* (t).$$

Заключение. Разработанный метол синтсла применим к многочисленным гехническим задачам теорий массового обслуживания и падежности, и, в частности, для решения задачи синтеза сложных многомерных МУС в условиях весьма малой априорной информации относительно состояния и динамических характеристик. В этой задаче экспериментальный синтез законов управления МУС на опытных или промышленных образцах оказывается дорогостоящим и длительным. Поэтому неоценимой является возможность синтеза таких систем то ее создания, в процессе проектирования и условиях малой априорной информации об объекте. Предлагаемый метод синтеза позволяет на начальной сталин проектирования обосновать структуру управляемых систем, состав применяемой аппаратуры и выбор значении параметров, что существенно сокращает сроки проектирования и повышает его качество.

EpHHX 9, VIII, 1982

4. h. praesaul

ՊԱՏԱՀԱԿԱՆ ՓՈՓՈԽՎՈ<mark>Վ ԳՈՐՕԱԿԻՑՆԵՐՈՎ</mark> ՄԱՐԿՈՎՑԱՆ ՎԵԿԱՎԱՐԵԼԻ ՀԱՄԱԿԱՔԳԻ ՍԻՆՔԵԶՄԱՆ ՄԱՍԻՆ

II. de din din i d

Դիտարկվում է դծային մարկովյան դեկավարելի համակարգի սինքնելման խնդիրը, որտեղ ենքադրվում է, որ գրուքյան մատրիցայի և ղեկավարման վեկաորի գործակիցները պատահական ֆունկցիաներ են, իսկ համակարգի դինամիկ բնուքագրերը կախված են դրության պայմանական գնահատականներից և պատահական դործակիցների իրականացումից։ Լուծման մշակված մեքութը քույլ է տալիս իրականացնել սինքեղը համակարգի դրության ու բնութագրերի մասին շատ բիշ ենքագրական ինֆորմացիայի պայմաններում և «ժտված է ինգծականոնավորման ընդունակությամը

ЛИТЕРАТУРА

- Флемин. 3., Ришел Р. Оптимальное управление истерминированными и стохастическими системами. М. Мир. 1978.—316 с.
- 2 Ройтемперт Я. И. Автоматическое управление М. Илука, 1978 552 с.
- л. Черводского Ф. Л. Колмановский В. Б. Оптимальное управление при случайных возмущениях — М.: Науки, 1978. 312 с.
- Колман Р. Об общей товрио силтем управления Тр. 1 Конгресси ИФАК, М., Изд. АП СССР, 1961, т. 2, с. 521—547.
- Б. В. И. Оптимальный спитез линейных марконских упрачляемых систем пра испрерывных и дискретных неполных наблюдениях.— Изв. АН СССР, Техническая вибериетика, 1980. № 6, с. 27—36.
- Б. Минчин. 4. Я. Работы математической теории массивого обслуживания.— М.: Физматина, 1963.— 236 с.

I T I I HER I TALK IN THIS PARTY.

Տեխնիկական գիտուր. սեբիա

XXXVI, As 3, 1983

Серия технических наук

ВЫЧИСЛИТЕЛЬНАЯ ТЕХНИКА

и вжедатная г. д нювечим м а

МОДИФИЦИРОВАННЫЙ АЛГОРИТМ ЭКСТРЕМАЛЬНОГО УПРАВЛЕНИЯ ИНЕРЦИОНИЫМИ ОБЪЕКТАМИ ПРИ НАЛИЧИИ ГОРИЗОНТАЛЬНОГО ДРЕЙФА НЕЛИНЕГИОЙ СТАТИЧЕСКОЙ ХАРАКТЕРИСТИКИ

Применение алгоритмов акстремального управления при оптимивации реальных объектов химической промышленности часто бывает затруднено из-за наличия дрейфа (смещение во времени) нелинейной статической характеристики, вызываемого ниэкочастотными контролируемыми и неконтролируемыми позмущениями, накладываемыми на объект. Известно, что неучет дрейфа нелинейной статической характеристики может привести к выходу системы из состояния устойчивостя и, следовательно, к нарушению нормального хода оптимизации.

Выведем алгоритм экстремального управления, обеспечивающий устойчивый поиск оптимума при наличии горипонтального дренфа статической характеристики.

В [1] разработан быстродействующий, сходящийся алгоритм экстремального управления инерционными объектами второго порядка. Введя в рассмотрение индекс «т», обозначающий порядковый номер пробного смещения, запишем алгоритм управления в виде:

$$x_{k} = x_{k-1} + \delta x_{k} = x_{k-1} + z_{k} a_{k} \tag{1}$$

где

$$z_i = \frac{f(x_{i, m-1}) - f(x_{i, m})}{2c};$$

$$\begin{aligned} & = \frac{1}{\Delta} \left[\left[\sum_{j=0}^{N-1} (1-A_j)^2 \sum_{j=0}^{N-1} B_j^2 - \left[\sum_{j=0}^{N-1} B_j (1-A_j) \right]^2 \right] \sum_{j=0}^{N-1} A_j y_{k-n-1} + \\ & + \left[\sum_{j=0}^{N-1} B_j (1-A_j) \sum_{j=0}^{N-1} A_j - \sum_{j=0}^{N-1} A_j (1-A_j) \sum_{j=0}^{N-1} B_j \right] \sum_{j=0}^{N-1} (1-A_j) \\ & + \left[\sum_{j=0}^{N-1} A_j (1-A_j) \sum_{j=0}^{N-1} B_j (1-A_j) - \sum_{j=0}^{N-1} (1-A_j)^2 \sum_{j=0}^{N-1} A_j B_j \right] \sum_{j=0}^{N-1} B_j y_{k-1} \right]; \\ & f(x_{k,m}) = \frac{1}{\Delta} \left[\left[\sum_{j=0}^{N-1} (1-A_j)^2 \sum_{j=0}^{N-1} B_j (1-A_j) \right]^2 \left[\sum_{j=0}^{N-1} B_j (1-A_j) \right]^2 \right] \end{aligned}$$

$$\begin{split} & + \left[\sum_{j=0}^{N-1} B_{j} (1-A_{j}) \sum_{j=0}^{N-1} A_{j} B_{j} - \sum_{j=0}^{N-1} A_{j} (1-A_{j}) \sum_{j=0}^{N-1} B_{j} \left[\sum_{j=0}^{N-1} (1-A_{j}) y_{k,m,j} + \right] \right] \\ & + \left[\sum_{j=0}^{N-1} A_{j} (1-A_{j}) \sum_{j=0}^{N-1} B_{j} (1-A_{j}) - \sum_{j=0}^{N-1} (1-A_{j})^{2} \sum_{j=0}^{N-1} A_{j} B_{j} \right] \sum_{j=0}^{N-1} B_{j} y_{k,m,j} \\ & = \left[\sum_{j=0}^{N-1} A_{j} (1-A_{j}) \sum_{j=0}^{N-1} B_{j} y_{k,m,j} + \sum_{j=0}^{N-1} A_{j} B_{j} \right] \sum_{j=0}^{N-1} B_{j} y_{k,m,j} \\ & = \left[\sum_{j=0}^{N-1} A_{j} (1-A_{j}) \sum_{j=0}^{N-1} B_{j} y_{k,m,j} + \sum_{j=0}^{N-1} A_{j} B_{j} \right] \sum_{j=0}^{N-1} B_{j} y_{k,m,j} \\ & = \left[\sum_{j=0}^{N-1} A_{j} (1-A_{j}) \sum_{j=0}^{N-1} A_{j} B_{j} \right] \sum_{j=0}^{N-1} A_{j} B_{j} \\ & = \left[\sum_{j=0}^{N-1} A_{j} (1-A_{j}) \sum_{j=0}^{N-1} A_{j} B_{j} \right] \sum_{j=0}^{N-1} A_{j} B_{j} \\ & = \left[\sum_{j=0}^{N-1} A_{j} (1-A_{j}) \sum_{j=0}^{N-1} A_{j} B_{j} \right] \sum_{j=0}^{N-1} A_{j} B_{j} \\ & = \left[\sum_{j=0}^{N-1} A_{j} (1-A_{j}) \sum_{j=0}^{N-1} A_{j} B_{j} \right] \sum_{j=0}^{N-1} A_{j} B_{j} \\ & = \left[\sum_{j=0}^{N-1} A_{j} (1-A_{j}) \sum_{j=0}^{N-1} A_{j} B_{j} \right] \sum_{j=0}^{N-1} A_{j} B_{j} \\ & = \left[\sum_{j=0}^{N-1} A_{j} B_{j} \sum_{j=0}^{N-1} A_{j} B_{j} \right] \sum_{j=0}^{N-1} A_{j} B_{j} \\ & = \left[\sum_{j=0}^{N-1} A_{j} B_{j} \sum_{j=0}^{N-1} A_{j} B_{j} \right] \sum_{j=0}^{N-1} A_{j} B_{j} \\ & = \left[\sum_{j=0}^{N-1} A_{j} B_{j} \sum_{j=0}^{N-1} A_{j} B_{j} \right] \sum_{j=0}^{N-1} A_{j} B_{j} \\ & = \left[\sum_{j=0}^{N-1} A_{j} B_{j} \sum_{j=0}^{N-1} A_{j} B_{j} \right] \sum_{j=0}^{N-1} A_{j} B_{j} \\ & = \left[\sum_{j=0}^{N-1} A_{j} B_{j} \sum_{j=0}^{N-1} A_{j} B_{j} \right] \sum_{j=0}^{N-1} A_{j} B_{j} \\ & = \left[\sum_{j=0}^{N-1} A_{j} B_{j} \sum_{j=0}^{N-1} A_{j} B_{j} \sum_{j=0}^{N-1} A_{j} B_{j} \right] \\ & = \left[\sum_{j=0}^{N-1} A_{j} B_{j} \sum_{j=0}^{N-1} A_{j} B_{j} \sum_{j=0}^{N-1} A_{j} B_{j} \right] \\ & = \left[\sum_{j=0}^{N-1} A_{j} B_{j} \sum_{j=0}^{N-1} A_{j} B_{j} \sum_{j=0}^{N-1} A_{j} B_{j} \right] \\ & = \left[\sum_{j=0}^{N-1} A_{j} B_{j} \sum_{j=0}^{N-1} A_{j} B_{j} \sum_{j=0}^{N-1} A_{j} B_{j} \right] \\ & = \left[\sum_{j=0}^{N-1} A_{j} B_{j} \sum_{j=0}^{N-1} A_{j} B_{j} \sum_{j=0}^{N-1} A_{j} B_{j} \right] \\ & = \left[\sum_{j=0}^{N-1} A_{j} B_{j} \sum_{j=0}^{N-1} A_{j} B_{j} \sum_{j=0}^{N-1} A_{j} B_{j} \right] \\ & = \left[\sum_{j=0}^{N-1} A_{$$

Пусть на объект управления помимо высоколяетотных аддитивных помех ξ (t), воздействуют также возмущения q (t), приводящие к горизонтальному дрейфу статической характеристики.

Осуществим кусочно-линейную аппроженманию древфа, г. е. прямем скорость дрейфа в интервалах между двуми последовательными управляющими воздействиями постоянной, равной некоторому среднему значению 1 г. Указываемая аппрокенмация обусловлена тем, что из-за наличия на выходе статической характеристики линейного звена с большой инерционностью выстокочастотные компоненты ф (1) подавляются и на измеряемый выход не проходят, инзкочастотные же комловенты имеют монотонный характер.

Пелинейную статическую характеристику y = f(x) аппроженмируем квадратичной моделью y = ax-, достаточно хорошо отражающей особенности экстремальных характеристик, а имению: существенная крутизна характеристики вдали от экстремума и довольно пологая область в районе экстремума.

При реализации выводимой инже модификации мож т появиться необходимость в смещении характеристики по оси X, или по оси Y, для чего внедем в рассмотрение параметры P и Q, характеризующие величину смещения по оси X или Y, иначе, будем рассматривать квадратичную модель y = d ($x^2 + Px + Q$).

При вышеприведенных предположениях относительно молелей статической характеристики и дрейфа для оценки $\widehat{f}(x_{\lambda_{m-1}})$ прогнозируемого значения, получаемого при фиксированном входном нараметре $x_{\lambda_{m-1}} = x_k + c$, можно написать уравнение

$$f(x_{k, m-1}) = d_k | [x_{k, m-1} + V_k^r (N_{m-1} - 1) \cdot]^2 +$$

$$= P[x_{k, m-1} + V_k^r (N_{m-1} - 1) \cdot] + Q$$
(2)

где $N_{n=1}$ — количество измерений динамического ныхода при положительном пробном смещении; d_x — коэффициент крутизны статической характеристики.

Для определения неизвестных V_k^c и уравнения (2) составим второе уравнение относительно $f(x_k)$ получаемого по совершению отрицательного пробного смещения при фиксированном входном нараметре $x_{k-m} = (x_k - c)$:

$$\vec{f}(x_{k,m}) = 4 \left[(x_{k,m} + V_{-}^{T}(N_{m-1} + N_{m} - 2) \cdot] + Q \right],$$

$$+ P \left[(x_{k,m} + V_{-}^{T}(N_{m-1} + N_{m} - 2) \cdot] + Q \right],$$
(3)

тае N_{\star} — количество измерений динамического выхода дри отринательном драбиом смещении.

Решение (2) и (3) представляется в виде:

$$(V_{k}^{r})_{1,2} = \left\{ \begin{array}{l} (N_{m-1} + N_{m} - 2) \cdot X_{k,m} f(X_{k,m-1}) + \\ -\frac{P}{2} (N_{m-1} + N_{m} - 2) \cdot X_{k-1} f(X_{k,m-1}) + \\ -\frac{P}{2} (N_{m-1} + N_{m} - 2) \cdot X_{k-1} f(X_{k,m}) \right\}^{2} - \\ -\frac{P}{2} (N_{m-1} + N_{m} - 2) \cdot X_{k-1} f(X_{k,m-1}) + \\ -\frac{P}{2} (X_{k-1} + N_{m} - 2) \cdot X_{k-1} f(X_{k,m-1}) + \\ -\frac{P}{2} (X_{k-1} + N_{m} - 2) \cdot X_{k-1} f(X_{k-1} + N_{m-1}) + \\ -\frac{P}{2} (X_{k-1} + N_{m} - 2) \cdot X_{k-1} f(X_{k-1} + N_{m-1}) + \\ -\frac{P}{2} (X_{k-1} + N_{m} - 2) \cdot X_{k-1} f(X_{k-1} + N_{m-1}) + \\ -\frac{P}{2} (X_{k-1} + N_{m} - 2) \cdot X_{k-1} f(X_{k-1} + N_{m-1}) + \\ -\frac{P}{2} (X_{k-1} + N_{m} - 2) \cdot X_{k-1} f(X_{k-1} + N_{m-1}) + \\ -\frac{P}{2} (X_{k-1} + N_{m} - 2) \cdot X_{k-1} f(X_{k-1} + N_{m-1}) + \\ -\frac{P}{2} (X_{k-1} + N_{m} - 2) \cdot X_{k-1} f(X_{k-1} + N_{m} - 2) \cdot X_{k-1} f(X_{k-1} + N_{m-1}) + \\ -\frac{P}{2} (X_{k-1} + N_{m} - 2) \cdot X_{k-1} f(X_{k-1} + N_{m} - 2) \cdot X_{k-1} f(X_{k$$

$$\vec{d}_{s} = \frac{f\left(X_{k,m-1}\right)}{\left[X_{k,m-1} + \bar{V}_{s}^{*}\right)\left(N_{m-1} - 1\right):\left[^{n} + P\left[X_{k,m-1} + (\bar{V}_{s}^{*})\left(N_{m-1} - 1\right):\right] + Q}\right]}$$
(5)

Причем в качестве опенки скорости дрейфа необходимо использовать меньшее по абсолютной величине из решений (4), т. к. большее по абсолютной величине решение переводит рабочую точку на дальнюю ветвь статической характеристики.

Для учета дрейфа статической характеристики вычислим ее эначения, соответствующие отсутствию дрейфа. Восстановлениые начения статической характеристики при фиксированных и м-1 к определяются выражениями:

$$\hat{f}_{\text{sour}}(x_{k,m-1}) = \hat{d}_{i}[x_{k,m-i}^{i} + Px_{k,m-i} + Q];$$
 (6)

$$\hat{f}_{\text{soccr}}(x_{s, n}) = \hat{d}_{s}[x_{s, n}^{2} + Px_{s, n} + Q].$$
 (7)

Основную компоненту управляющего воздействия формулируем по восстановленным эначениям (6) и (7)

$$\frac{a_{r}[f_{\text{soccr}}(x_{b,r}) - f_{\text{soccr}}(x_{b,r})]}{2c} = z_{b} a_{r}.$$

Вводя дополнительно корректировку по скорости горизонтального дрейфа статической характеристики $\operatorname{sign} z_{\lambda}(V_{\lambda}')_{m} = (N_{m-1} + N_{m} - 2) z_{\lambda}$ получим модифицированный алгоритм управления:

$$6x_{k} = \frac{a_{k} \prod_{i=1}^{n} (x_{k,m})!}{2c}$$

$$82n = (V_{i} + V_{i} - 2);$$
(8)

$$x_{k} = x_{k+1} + \delta x_{k}. \tag{9}$$

Алгоритм управления (8), (9) определяет приопосабливающуюся к торизонтальному дрейфу стратегию быстрого поиска оптимума в щатовых системах экстремального управления (ШСЭУ) инерционными объектами.

На ЭВМ проведено цифровог моделирование разработанного алгоритма в замкнутом контуре оптимизации при различных начальных условиях и интенсивности дрейфа статической характеристики. Результаты моделирования показали работоспособность модифицированного алгоритма и выявили в зависимости от направления дрейфа, определяе-

мого знаком $(V_*)_{\min}$ и местонахождения рабочей точки на статической характеристике, следующие качественно разные режимы функционирования алгоритма

- 1. (У) < 0 н х, находится на правой ветви поиск реализуется на правой ветви, дрейфующей вправо статической характеристики.
- $2.~(V_{\rm f})_{\rm min}>0$ и ж, находится на левой ветви— поиск реализуется на левой ветви, дрейфукицей влево статической характеристики.

В обоих случаях характер смещения статической характеристики и направление основной компоненты управляющего воздействия способствуют ускорению нахождения оптимума, если при этом происходит ложное смещение входного параметра, то система сотлясно рекоменда-

циям алгоритма (8), (9) следующим шагом исправляет направление воиска на правильное.

- 3. $(V_{i})_{\min} > 0$ и ж находится на правой ветви— поиск реализуется на правой ветви, дрейфующей влево статической характеристики.
- 4. $(V_k^r)_{min} < 0$ и ж находится на левой ветви поиск реализуется на левой ветви, дрейфующей вправо статической характеристики.

В этих случаях дрейф статической характеристики и основная компонента управляющего воздействия одинаково направлены, что несколько замедляет поиск и нахождение оптимума. Однако устойчивость
поиска сохраняется благодаря корректировке управляющих воздей
ствий. Возможное ложное смещение не оказывает существенного влия
ния на характер поиска, поскольку следующим шагом алгоритм реверсирует поиск в правильном напрвлении.

Реализация модифицированного алгоритма в ШСЭУ обеспечинает помимо быстродействия, связанного с прогнозированием значений статической характеристики и корректировки управляющего воздействия по скорости дрейфа, также устойчивость системы в процессе ее функционирования.

АФ ИРЕА

3 11 1982

Ա. Մ. ՄԻՐՉՈՅԱՆ, Գ. Լ. ՂԱՆԹԱՐՋՅԱՆ

ԻՆԵՐՑԻՈՆ ՕԲՏԵԿՏՆԵՐԻ ԾԱՅՐԱՀԻՂ ՂԵԿԱՎԱՐՄԱՆ ՁԵՎԱՓՈԽՎԱԾ ԱԼԳՈՐԻՔՄ ՈՉ-ԳԾԱՅԻՆ ՍՏԱՏԻԿԱԿԱՆ ԲՆՈՒԹԱԳՐԻ ՀՈՐԻԶՈՆԱԿԱՆ ՏԵՂԱՇԱՐԺԻ ԱՌԿԱՅՈՒԹՅԱՆ ԴԵՊՔՈՒՄ

Uddinhaid

ՉՀսկվող ցածր Հահախականության գրդռումների առկայությունը իներդիոն օբյեկտների ելթում բերում է ոչ-գծային ստատիկական բնութադրի տեւ դաշարժման։ Ուսումնասիրված են ծայրահեղ համակարդեր, որոնց համար առավել վտանդավոր են հորիդոնական ուղղությամբ, ցածր հաճախության դրգռումները և որոնք բերում են ծայրահեղ արժերի փնարման կայունության կորուստիւ

Արտածված է այզորինեւ որը ապահովում է ծայրահեղ արժերի փնտրեան կայունունյունը շնորհիվ ղեկավարող ազդեցունյունների հշտման ըստ ոչ-դծային ստատիկական բնունադրի տեղաշարժման արտղունյան գնահատականի

Թվային մոդնլացման մեβողներով ստուգված է ալգորիքմի աշխատունակությւնը և բացահայտված են նրա գործնլու որակապես տարբեր ռեժիմները։

ЛИТЕРАТУРА

Рафаелян Р. С., Мирэоян А. М. Самонастранивающаяся стохостическая процедут в экстремильного управления аперапонными объектами пторого порядка. Приборостроение, 1976. т. XIX. № 11. с. 48—53.

Տեխնիկական գիտուր, սեբիա

XXXVI, No. 3, 1983

Серия технических паук

ИЗМЕРИТЕЛЬНАЯ ТЕХНИКА

Г. Л. АРЕШЯН, О. В. ЛЕОНОВ, А. С. ШАХКАМЯН

ПЕРЕДАТОЧНЫЕ ФУНКЦИИ И АНАЛИЗ ДИНАМИЧЕСКИХ ХАРАКТЕРИСТИК СЕЙСМОМЕТРОВ СГК И СВК С АКТИВНЫМ ФИЛЬТРОМ

В настоящее время на сейсмических стационарных станциях СССР, в основном, применяются маятниковые электромеханические сейсмометры системы Кирноса с гальванометрической регистрацией сейсмического сигнала [1], основным пренмуществом которых является сравнительно малая динамическая погрешность в сейсмическом диапазоне частот. При этом обработка сейсмограмм осуществляется вручную Для автоматнаации процесса обработки сейсмических сигналов исобходимо сопрягать сейсмометры с ЭВМ С этой целью необходимо осуществить операционное преобразование выходного сигнала измерительной обмотки сейсмометрического преобразователя (СП) в инфровой код. Для оптимального выборя параметров операционного преобразователя и анализа динамических характеристик рассмотрим передаточные функции этих сейсмометров. Дифферсициальное уравнение движения маятниковой системы (МС) СП имеет следующий вид [1]:

$$J\Theta - P_{\perp}\Theta + w\Theta = -R_{a}m\lambda', \tag{1}$$

где J_{ν} , P_{ν} , Θ , m, w — спответственно, момент инерции, коэффициент успокоения, угол поворота, масса и жесткость MC; R_{0} — расстояние от оси вращения до центра тяжести; X — смещение почвы.

Если в качестве входной величины МС принять механический момент $M_{\bullet\bullet} = -R_0 m X$, а в качестве выходной величины — угол поворота $\stackrel{\bowtie}{\vdash}$ МС, то передаточную функцию МС можно представить в виде:

$$W_{w}(p) = \frac{H(p)}{M_{\text{BX}}(p)} = \frac{1}{Jp^{2} + P_{w}p + w}$$
 (2)

Скорость перемещения МС преобразуется в э. д. с. с помощью магинто-электрического индукционного преобразователя, состоящего из лвух обмоток, причем первая из них является измерительной, в вторая елужит для подрегулировки коэффициента успокоения МС. Выходные э. д. с. этих обмоток определяются выражениями:

$$e_y = -K_y \dot{\Theta}; \qquad e_y = -K_y \dot{\Theta}, \tag{3}$$

где $K_{\rm B}=Bl_{\rm H}\,R_{\rm O}$; — $Bl_{\rm y}\,R_{\rm D}$ — электромагнитные постоянные СП: B — индукция постоянного магнитного поля в рабочем зазоре магнитной системы СП: — соответственно, рабочая длина измерительной обмотки и обмотки успокоення.

Сладовательно, для передаточной функции измерительной обмотки получим:

$$W_{H}(p) = \frac{F(p)}{\Theta(p)} = -pK_{H}. \tag{4}$$

Если через вторую обмотку протекает ток і, го возникает обратиз действующий на МС момент успокоення, определяемый выражением:

$$M_{y} = Bl_{y}R_{0}l = K_{y}l, \tag{5}$$

При этом ток і создается подключением к второй обмотке соответствующего сопротивления Z₂. Тогда для передаточной функции цепи успоковния получим:

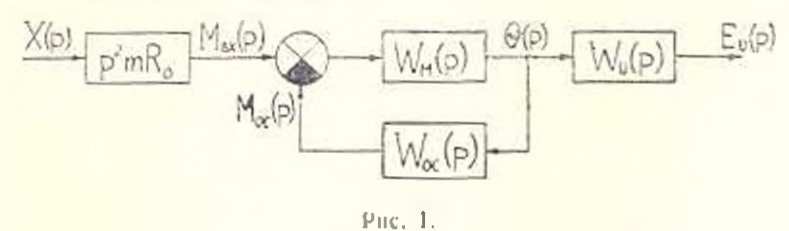
$$W_{oz}(p) = -\frac{M_{3}(p)}{\Theta(p)} = \frac{K_{3}^{2}p}{Z_{2}(p)}$$
 (6)

где Z. (p) — оператор общего сопротивления цепи второй обмотки.

На основании этого структурную схему СП можно представить в виде рис. 1, а его эквивалентная передагочиля функция будет:

$$W_{\text{ver}}(p) = \frac{E_{0}(p)}{X(p)} = \frac{p^{3}K_{\text{H}}/l_{0}}{p^{2} + P_{\text{v}}p + \omega_{0}^{2} + \frac{K_{\text{v}}^{2}}{JZ_{2}(p)}p}$$
(7)

где $\omega_0 = V w/J$ — частота собственных колебаний МС: $l_0 = J m R_0$ приведенная длина маятлика.



Если вторая обмотка нагружается активным сопротивлением, то

$$Z_{z}(p) = R_{z}(1 + pT_{z}),$$
 (3)

где R_2 — суммарное активное сопротивление цени нагрузки, включающее сопротивление обмотки успокосния; $T_2 = l_2/R_2$ — постоянная времени цени нагрузки: L_2 — индуктивность второй обмотки.

Для сейсмомстров СГК и СВК $L_* < 0.1$ Ги, $R_* > 25$ Ом, поэтому учитывая, что частота сейсмических колебаний не превышает 20 Гц.

можно пренебречь значением pT, по сравнению с единицей в выражении (8). Тогда для передаточной функции $W_{\rm avg}(p)$ получим:

$$W_{\text{skel}}(p) = -\frac{p^2 - (P_y + K_y^2/R_z)p + \omega^2}{(9)}$$

Следовательно, подключение ко второй обмотке активного сопротивления увеличивает коэффициент успокоения МС. Если ко второй обмотке подключается последовательно резистор и конденсатор с емкостью C, го

$$Z_{2}(p) = \frac{1}{p} L_{2} \left(p^{z} + \frac{1}{T_{2}} p + w_{2}^{z} \right). \tag{10}$$

где $= 1/L_zC$.

Тогда для передаточной функции получим:

$$W_{\text{sys2}}(p) = -\frac{p^{-}K_{\text{M}}/l_{0}}{p^{-} \div P_{y}p + \omega_{0}^{2} - \frac{K_{0}^{2}}{p^{2} + p/T_{0} - \omega_{0}^{2}}}$$
(11)

Аналил полученного выражения показывает, что подключение к обмотке успоковния резистора и конденсатора приводит к изменению эквивалентной частоты собственных колебаний и коэффициента успокосния МС. Тогла для сейсмического днапазона частот при $T_* = 0.004~c$. $C > 100~u\kappa\phi~(\omega^2 \ge 10^5~c^{-1})$ эквивалентную передаточную функцию сейсмометра можно записать в виде:

$$W_{n}(p) = \frac{E(p)}{X(p)} = \frac{p^3 K_n l_0}{p^2 + 2D_{01} \omega_{02} p + \omega_{11}^2}, \qquad (12)$$

где D_{00} , $K_{\rm d}$ — соответственно, приведенные степень услокоения и частота собственных колебаний МС, а также коэффициент услокоения.

Тогда для амплитулно-частотной характеристики получим:

$$W_{\rm min}(s) = -\frac{\omega K_{\rm m}/l_0}{V(u^2 - 1)^2 + 4D^2 r^2}$$
 (13)

где $u=\omega_{01}/\omega=T_w$, $T_0=2\pi/\omega_1$; $T_0=0$ период сейсмических колебаний.

В стационарных сейсмометрах типа СГК и СВК $D_{01} \geqslant 0.45$, $w_{01} = 0.5 \ c^{-1}$. Из выражения (13) следует, что выходная э. о. с. измерительной обмотки пропорциональна скорости перемещения почвы в сейсмическом диапазоне частот. Для получения сигнала, пропорционального перемещению лочвы, выходную э. д. с. e_{u} необходимо интегрировать. Наиболее целесообразно применение электронного интегратора на базе операционного усилителя (ОУ). Учитывая, что длительность непрерывной работы сейсмометров очень большая, при наличии

в ОУ напряжения смещения нуля и се дрейфа получится исдопустимое накопление погрешности на выходе интегратора. Для уменьшения этой погрешности необходимо производять периолическую установку нуля ОУ и применять активный полосовой инзкочастотный фильтр по схеме Рауха. Перелаточная функция такого фильтра (рис. 2) определяется выражением [2]:

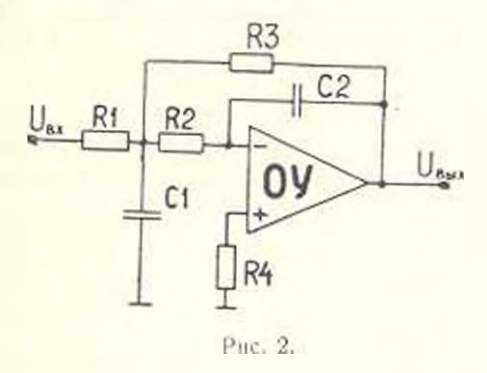
$$W_{+}(p) = -\frac{R_{+}}{R_{1}} \cdot \frac{1}{R_{2}R_{3}C_{1}C_{2}p^{2} + [R_{+} + R_{2}(1 + R_{2}|R_{1})]C_{2}p^{2} - 1} \cdot (14)$$

При $R_1 = R_1 < 0.001 R_2$ получим:

$$W_{\phi}(p) = -\frac{R_{\phi}}{R_{\phi}} \frac{1}{\frac{1}{1-2}} \frac{1}{p^2 + 2D_{\phi}^{\alpha_{\phi}}p + \omega_{\phi}^2}.$$
 (15)

где

$$\tau_1 = 1/\sqrt{\tau_1 \tau_2}$$
, $\tau_2 = R_3 C_3$, $T_4 = 2\pi \sqrt{\tau_1 \tau_2}$; $D_4 = \sqrt{\tau_1 \tau_2}$.



Амплитудно-частотную характеристику этого фильгра можно представить в виде:

$$W_{\phi}(\omega) = \frac{K_{\phi}}{\sqrt{1 + (u_{\phi} - 1/u_{\phi})^2 + D_{\phi}^2}},$$
 (16)

где

$$K_{\Phi} = -\frac{1}{2\alpha R_1 C_2}; \qquad u_{\Phi} = \sigma_{\Phi}/\alpha = T/T_{\Phi}.$$

При подключении этого фильтра к измерительной обмотке СП для передаточной функции и амилитуано-частотной характеристики сейсмометра с фильтром получим:

$$W_{\epsilon}(p) = -\frac{\frac{1}{(p^2 - 2D_{\phi} - \omega_{01})(p^2 - 2D_{\phi} \omega_{\phi} p + \omega_{\phi}^2)}}{(p^2 - 2D_{\phi} - \omega_{\phi} p + \omega_{\phi}^2)}.$$
 (17)

$$W_{z}(u) = \frac{R_{u}/I_{0} \cdot 1/2R_{1}C_{1}}{1/(u^{2}-1)^{2}+4D_{v1}^{2}u^{2}\cdot 1/1+(u_{\phi}-1/u_{\phi})^{2}/4D^{2}}$$
(18)

Из этого выражения следует, что коэффициент передачи (увеличение) сейсмотера с активным фильтром будет:

$$K_0 = K_0 H_0 R_1 C_0 \tag{19}$$

При гальванометрической регистрации частотная характеристика сейсмографа определяется выражением [1]:

$$U(\omega) = \frac{1}{\sqrt{(1-u^2)^2 + 4D_{\rm m}^2 u^2} \sqrt{1+\varsigma}}$$
 (20)

где $\xi = (1/u_1 - u_2)^2/4D_1^2$; $u_1 = T_*/T_1$; D_1 ; T_1 — соответственно, коэффициент услокоения и период собственных колебаний гальванометра; V_0 — увеличение сейсмографа.

Выражение (20) отличается от (18) вторым членом знаменателя. Для сейсмометров СГК и СВК $7_0=12.5$ с, $T_1=1.2$ с, $D_{01}=5$, следовательно, при 0.2 с $< T_{\infty} < 10$ с получим 0.016 < u < 0.8. $0.16 < u_1 < 8.3$ и 0.36 < z < 0.65; Принямая для фильтра $D_{\phi}=10$. $T_{\phi}=2$ с $(\tau_1=56$ мс, $\tau_2=5.6$ с), получим $0.092 < (u_{\phi}-1/u_{\phi})^3/4D_{\phi}^2 < 0.245$.

Сравнивая выражения частотных характеристик сенсмометров с активным фильтром (18) и гальванометрической регистрацией (20), приходим к выводу, что сейсмометр с активным фильтром имеет сравнительно лучшую частотную характеристику и широкие возможности по регулировке параметров сейсмометрического канала.

При сипусондальном колебании почвы $x=x_m \sin \omega t$, амплитуда выходной э. д. с. e_n будет:

$$e_m = \frac{K_n \omega}{l_0} \cdot \frac{1}{1(1 + u^2)^2 + u^2}. \tag{21}$$

где $\omega = 2\pi/T_{\omega}$.

На основании этого выражения для СГК-3 при $K_0 = 1.75~B \cdot c/pao$, $I_0 = 27~cm$, $T_\infty = 10~c$, $X_m = 10^{-3}~mm$, получим $e_m = 5~m\kappa B$. Это значение является минимальным, которое необходимо регистрировать. Следовательно, максимально допустимое значение суммарного сигиала номехи на входе фильтра должно быть не более 1.5 $m\kappa B$. Наибольшее значение выходного напряжения СГК-3 (при $T_0 = 0.1~c$, $X_m = 5~mm$) будет около 2 B.

Для коэффициента передачи сейсмометра СГК-3 с фильтром получим:

$$K_0 = 6.48/2R_1C_2$$
, MB/MM .

Для повышения точности преобразования весь днапазон намерений ислесообразио разбить на два подднапазона — от 0,001 до 0,070 мм и от 0,070 до 5 мм. Тогда для этих полднапазонов получим, соответственно, $K_{01}=140~B/$ мм и $K_{02}=2.0~B/$ мм ($R_1C_2=23$ мке и $R_1C_2=1.62$ мс соответственно). Для построения фильтра при входных сигналах не менее 3 мкВ наиболее целесообразно применять ОУ типа М/14806.

Применение фильтра дает возможность непосредственного преобразования значения смещения почны и цифровой кол с помощью аналого-цифрового преобразователя среднего быстролействия и ввола кодированного результата в ЭВМ с целью хранения сейсмограмм в цифровом запоминающем устройстве. При этом возможна параллельная обработка сейсмической информации для определения коорлинат эпицентра и силы землетрясения. И меется также возможность непосредственного наблюдения сейсмического сигнала на экране электронного осциллографа в процессе землетрясения.

ЕрПИ им. К Маркса

10. FX 1982

Գ. Լ. ԱՐԵՇՑԱՆ, Օ. Վ. ԼԵՈՆՈՎ, Ա. Ս. ՇԱՂԳԱՄՅԱՆ

որութթուրնեն թվ եթրրութորդուր եթրթաներն գաթրութուն որութթութների անցույնը արտութություն

Udhnhiiid

Դիտարկվում են սելսմամեարի փոխանցման ֆունկցիաները Որոչվել է ելբային լարման և հանդստացման փախույթի չղիայի դիմադրության ազդեցությունը սելսմամեարի դինամիկական պարամեարերի վրա։ Դիտարկվել է չափման կանալում ակտիվ ֆիլտր մացնելու հարցը։ Որոշվել է կանալի փոկանցման Դունկցիան ակտիվ ֆիլտրի ասկալության դեպքում, ստացվել են բանաձևեր կանալը ամալիատպա-հաճախականային բնութադրի և ուժեղացման հաշվարկի համար։

JULEPATYPA

- 1 Алиаратура и методика сейсмометрических наблюдений и СССР, јото ред. Ардинвич З. И / — М.: Наука, 1974 — 243 с.
- 2. Марше Ж. Операционные усплители и их применение.- Л: Эпертия, 1974. 216 с

Տեխնիկական գիտութ. սերիա

XXXVI, № 3, 1983

Серия технических наук

ИЗМЕРИТЕЛЬНАЯ ТЕХНИКА

В. И. КУЛЕШОВ, Р Г АКОПЯН

ОБ ОГРАНИЧЕНИЯХ НА МИНИМАЛЬНО ДОПУСТИМЫЕ РАСИВИРИИЯ ПРИ ИЗМЕРЕНИЯХ ДИНАМИЧЕСКИХ ПАРАМЕТРОВ ФАР В ЗОНЕ РАСКРЫВА

В сиязи с инпроким применением крупноапертурных антенных решеток, граница дальней зоны которых находится на весьма большом расстоянии от антенны, повысился интерес к методам определения характеристик антени по результатам измерений в ближней зоне. Одним из перспективных направлений являются методы измерения характеристик антени с качанием луча в динамическом режиме [1—4].

В данной работе рассматриваются вопросы, связанные с ограничением минимально допустимых расстояний при измерениях динамических характеристик антени с качанием луча в зоне раскрыва.

При измерсниях, проводимых в зоне раскрыва ФАР, возникают оплибки, которые увеличиваются при уменьшении расстояния от антенны до измерительного зонда. Рассматриваемые в работе ограничения относятся к методам измерения динамической диаграммы направленности с помощью неподвижного зонда, т. е. измерению в фиксированиом направлении зависимости поля от времени в режиме электрического сканирования антенны. Эти ошибки обусловлены отлачием полей, издучаемых в различиых направлениях, определяемым направлениями свойствами излучателей ФАР и самого измерительного зонда.

Рассмотрим линейную эквидистантную антенную решетку. Предположим, что A_{tot} — соответственно, амилитуда и фаза i-го излучателя при условии полной симметричности поля излучения каждого излучателя, г. е. полагаем, что решетка состоит из идеально направленных, невзаимодеиствующих излучателей.

При измерении динамической ДН в дальней зоне амилитудно-фазовое распределение реальной антенны можно отождествить с идеальным случаем, а в зоне раскрыва ФАР поля излучения отдельных излучателей уже не являются идеальными сферами. Отметим, что отличие величины поля излучения в дачном направлении от этой же величины в идеальном случае связано с изменением амилитудно-фазового распределения.

Запишем амилитуду и фазу реального излучателя в виде $A_i = A_0 + \epsilon A_1$ и $\varphi_i - \varphi_i + \epsilon A_i$. Тогда сигиал на выходе зонда, непод-

вяжно установленного в зоне раскрыва ФАР, можно записать в виде [5]:

$$f_{p}(t) = \sum_{i=-N-1}^{N/2} (A_{i0} + \delta A_{i}) = \frac{-inr_{i}}{r_{i}} \cdot e^{Nr_{i} - icont}$$
 (1)

где р — поле излучения в зоне раскрыва; N_i i — количество и номер излучателя; r_i — расстояние от i-го излучателя до зонда; A_i — комплексная амилитула поля i-го излучателя; k — волновое число; v_i w_i — обобщенияя угловая скорость сканирования и частота излучения.

Из выражения (1) следует, что сигнал на выходе зонда имеет дискретный спектр:

$$F_{i}(\omega) = (A_{i0} + \partial_{i}A_{i})e^{j\partial\varphi_{i}} \frac{e^{-jkr_{i}}}{\ell}.$$
 (2)

Для восстановления ДП в дальней зоне на выходе измерительного зонда подключается фильтр с коэффициентом передачи

$$k_{\mu}(\omega_i) = \frac{r_i e^{\frac{-\omega_i}{v}} \sin \Theta_0}{e^{-jkr_i}} = \frac{r_i e^{jq_{i0}}}{e^{-jkr_i}}.$$
 (3)

Тогда спектр сигнала восле фильтрации имеет анд:

$$F(\omega_i) = F_p(\omega_i) k_p(\omega_i) = (A_{i0} + iA_i) e^{(\pi_i)}$$
 (4)

Для того, чтобы получить поле излучения антенны в дальней зоне, необходимо совершить преобразование Фурье над спектром сигнала антенны:

$$f_0 = F\{A_{i0}e^{f_{\tau_{i0}}}\}$$
 (5a)

для идеального случая;

$$f = F |(A_{i0} + \delta A_i) e^{f(\varphi_{i0} + \delta \varphi_i)}| = F |A_{i0} e^{f(\varphi_{i0} + \delta \varphi_i)}| + F \{\delta A_i e^{f(\varphi_{i0} + \delta \varphi_i)}\}| =$$

$$= f_0 \otimes F |e^{f(\varphi_i)}| + F |\delta A_i e^{f(\varphi_{i0})}| \otimes F (e^{f(\varphi_i)}) - (5)$$

для реального случая.

В общем случае δA_i и δz_i являются функциями амплитуды и угла, характеризующего направление на измерительный зона, а также фазы и угла:

$$\partial A_i = A_{ij} \Psi(x_i); \qquad \forall x_i = x_{ij} \Psi(x_i). \tag{6}$$

Рассмотрим вид функций Ч'(а,) и ;(а,). Предположим, что элементарными излучателями в решетке являются либо рупоры, либо открытые конны волноводов, либо вибраторы и т. п. Для таких элементов характерным угловым размером, приближенно совпадающим с шириной ДН по уровню половинной мощности, является $\Theta_i = \lambda/D_1\cos\alpha_i$, где D_1 — поперечный размер излучателя; α_i — направление.

Диаграмму излучателя в окрестности максимума, обычно соответствующего направлению $\alpha_i = \pi/2$, можно описать квадратичной зависимостью [6]:

$$F(z_i) \approx 1 - 0.3 \left[\frac{2(z_i - \pi/2)}{\Theta_i} \right]^2$$
 (7)

Отклонение от максимума на угол $a_i - \pi/2 = \Theta_i/4$ приводит к уменьшению уровня излучаемого поля на 7.50%.

С другой стороны, угловая зависимость идеального излучателя есть $F_n(\alpha_i)=1$. Тогда естественно предположить, что

$$\Psi(\alpha_i) = \frac{F_n(\alpha_i) - F(\alpha_i)}{F_n(\alpha_i)} = 0.3 \left| \frac{2(\alpha_i - \pi/2) D_1 \cos \alpha_i}{(8)} \right|$$

Если $D_1 = h \lambda$, где n = 1, 2, ..., то получим:

$$\Psi(a_i) = 1,2n^2(a_i - \pi/2)^2 \cos^2 a. \tag{9}$$

Функцию $\mathfrak{c}(\mathfrak{a}_i)$ можно либо положить равной с функцией $\Psi(\mathfrak{a}_i)$ (фазовая и амплитудная диаграммы элементарного излучателя идентичны), либо положить $\mathfrak{c}(\mathfrak{a})=0$, т. е. считать, что фазовые диаграммы реального и идеального излучателей совпадают. Для элементарных излучателей с практически пренебрежимо малой погрешностью принято считать фазовую диаграмму излучателя идеальной. В связи с этим рассмотрим второй случай и поле излучения антенны запишем в виде:

$$f = f_0 + f_0 \otimes F |\Psi (a_i)| = f_0 + f_0 \otimes F (1, 2(a_i - \pi/2)^2 \cos a_i)$$
или
$$f = f_0 + \delta f.$$
(10)

где $\delta f = f_0 \bigotimes F [1,2(\alpha_i - \pi/2)^2 \cos^2 \alpha_i].$ Если задана точность измерения ДН г. то очевидно:

$$\left| \frac{f - f_0}{f_0} \right| \leqslant \varepsilon$$
 или $\left| \frac{\delta f}{f_0} \right| = \left| \frac{f_0 \bigotimes F\{\Psi(\alpha_i)\}}{f_0} \right| \leqslant \varepsilon$, (11)

Для заданной величины в из (14), определяем значение амаг.

Тогда минимально допустимое расстояние до ФАР определится как

$$R_{\min} \geqslant \frac{D}{2\lg \alpha_{\max}},\tag{12}$$

где D — длина антенной решетки

Рассмотрим ограничения на R с учетом направленных свойств не только излучателей ФАР, но и самого измерительного зонда. Очевидно, что возникнут амплитудные и фазовые ошибки измеряемой величины поля, связанные с нендеальностью (несферичностью) ДН измерительного зонда. Пусть в качестве зонда используются элементы поперечного типа. Тогда ДН зонда в окрестности максимума с пренебрежимой погрешностью можно описать квадрагичной зависимостью типа (7). (ДП идеального зонда есть $F_n(\alpha_i) = 1$). С учетом неидеальности измерительного зонда измеряемая нами ДН может быть представлена в виде:

$$f' = f + f \otimes F \{\Psi(a_i)\},$$

где $f = f_0 + \delta f$ — поле излучения антенны с учетом неидеальности излучателей.

С другой стороны:

$$V(a_i) = \frac{F_{\alpha}(a_i) - F(a_i)}{F_{\alpha}(a_i)}. \tag{13}$$

Если в качестве измерительного зонда использовать элемент с $D_1 \approx k$ тде D_1 — поперечный размер зонда, выражение (13) перепищется в виде:

$$\Psi (a_i) = 1.2 (a_i - \pi/2)^2 \cos^2 a_i$$
. (14)

С учетом поправок на неидеальность излучателей антенной решетки и измерительного зонда, для заданной точности измерения ДН в можем записать следующее:

$$\left| \frac{f' - f_0}{f_0} \right| \leqslant \varepsilon$$

$$\left| \frac{f + f \otimes F |\Psi(\alpha_i)| - f_0}{f_0} \right| =$$
(15)

$$=\left|\frac{f_0+f_0\otimes F(\Psi(\alpha_i))+(f_0+f_0\otimes F(\Psi(\alpha_i)))\otimes F(\Psi(\alpha_i))-f_0}{f_0}\right|\leqslant \varepsilon. (16)$$

После несложных преобразований выражение (16) можно привести к виду:

$$\left| \frac{f_0 \bigotimes F \left(2\Psi \left(\alpha_i \right) + \Psi^2 \left(\alpha_i \right) \right)}{f_0} \right| \leqslant \varepsilon. \tag{17}$$

Аналогично (11) для заданного в из выражения (17) вычисляем \mathbf{z}_{min} и согласно (12) определяем R_{min} .

Расчет величины погрешности измерения динамической ДН в зависимости от расстояния между зопдом и испытуемой антенной получен путем моделирования задачи па ЭВМ. Задавалось минимально допустимое значение величны R и по формуле (12) определялось значение a_{\max} , а затем по (14) — функция $\Psi\left(\alpha\right)$. После этого е помощью алгоритма БПФ вычислялись значения функции $F\left[2\Psi\left(\alpha_{i}\right)+\Psi^{2}\left(\alpha\right)\right]$. Поле излучения антенны $f_{0}=F\left[\varphi\left(\alpha\right)\right]$, где $\Phi\left(\alpha_{i}\right)$ = const, вычислялось аналогично. Далее, по формуле (17) определялись значения погрешностей φ для каждого направления φ , где φ где φ где φ где и полученые результаты сравнивались с заданной предельной величиной φ . Если выясиялось, что в результате анализа сопротивления погрешнего

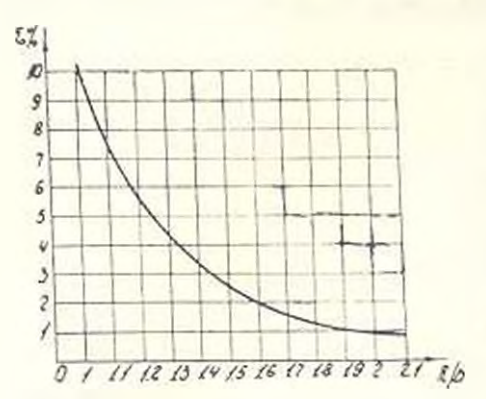


Рис. Зависимость погрешности восстановления динамической ДН от величаны отношения расстоявия между ФАР и измерительным и идом к размеру раскрыва ФАР.

ностей не достигалась заданная точность измерения динамической ДН, то с определенным шагом (10 г) увеличивалось исходное значение неличины R. Описанным способом на ЭВМ определялись погрешности в для различных значений величины раскрыва антенны D, в частности, от D=100 у до D=250 к. Нижиее предельное значение R принималось равным D.

Полученные результаты обобщены и представлены на рисунке. Как видно из графика, с учетом погрешностей дискретизации погрешность восстановления динамической ДН, возникающая из-за

неплеальности элементарных излучателей антенной решетки и измерительного зонда, не зависит от длины волны λ излучаемого поля, а определяется величиной отношения R/D. Кроме того погрешность практически не зависит от неличины динамического диапазона измериемого поля излучения и, соответственно, динамического диапазона восстановления ДП. Исследования проводились до уровней от — 20 ∂B до — 60 ∂B через — 10 ∂B .

внинири

15. VI 1982

վ. Ի. ԿՈՒՎԵՇՈՎ, Ռ. Դ. ՀԱԿՈՒՅԱՆ

ՔԱՑՎԱԾՔԻ ԳՈՏՈՒՄ ՖԱԶԱՎՈՐՎԱԾ ԱՆՏԵՆԱՅԻՆ ՑԱՆՑԻ ԳԻՆԱՄԻԿԱԿԱՆ ՔՆՈՒԹԱԳՐԵՐԻ ՉԱՓՄԱՆ ՆՎԱԶԱԳՈՒՅՆ ՀԵՌԱՎՈՐՈՒԹՅԱՆ ՈԱՀՄԱՆԱՓԱԿՄԱՆ ՄԱՍԻՆ

Udhnenid

Դիտարկված են անտեննային ցանցի բարվածքի զոտում լափված վերականգնված ուղղորդված դինամիկական գրագրամի սխալները, որոնք պայմանավորված են ցանցի ճառագային ների և չափող դոնդի ուղղիչ Հատկություններով։ Ստացված է չափվող դինամիկական դիագրամի սխալի կախվածությունը անտեննային ցանցի և չափող զոնդի Հեռավորությունից։ Թվային արդյունթները ստացված են հաշվիչ մեթենայի վրա խնդրի մոդելավորման եղանակով.

JUTEPATYPA

- 1. Пономарёв II 1. Дляграммы паправленно ти вители зачи зачи.— Раднотехшина и электроника, 1962, 7, с. 949—955
- 2. Арори Р. К., Агридал В. Г. Переходчие проигли при выправания фалированных антенных решеток ТПИЗР, 1971. 62. № 7. с. 192—193
- Мартирости С. А) Кулешов В. И. Таль вистем стана шем луча. Птв. АН. АрмССР, Филика. 1978, 13, с. 211—216.
- 4 Могато ли С. М., Киленко В. И. Проме точето и деятели допаттем тупа Пти АН АрмССР, Физика, 1980, 15, т. 168—173
- 5. Markou F. T., Caronos A. M. Antenna M. Buerran, 1975 528
- Аджиберг А. Г. Пумерение в топе Френеля диаграммы спиравленности автенных решеток методом фокусирования. — Разготехника. 1976. г. 31. № 10 г. 35. 10.

Տեխնիկական գիտութ, սեշիա

XXXVI. № 3. 1983 Серви технических наук

ГИДРАВЛИКА

О. В. ТОКМАЛЖЯН

ГИЛРАВЛИЧЕСКИЙ РАСЧЕТ БОКОВОГО ВОЛОСЛИВА В НЕПРИЗМАТИЧЕСКОМ РУСЛЕ

Гидравлический расчет канала с боковым водосливом согласно [1] приводится к решению системы дифференциальных уравнений:

$$\frac{dh}{dt} = \frac{t_0 - \frac{Q^2}{C^2 m^2 R} - \frac{\partial m}{\partial t} - \frac{(2-a)\alpha Q}{g m^2} \frac{dQ}{dt}}{1 - \frac{\alpha Q^2 B}{g}}$$

$$\frac{dQ}{dt} = -m \sqrt{2g} (h - P)^{t_0},$$
(1)

гле P= высота порога водосинва; $\psi=$ переменныя расход в канале; и - коэффициент бокового водослива; д коэффициент изменяющих масс, остальные обозначения общепричятые

В [2] дается аналитическое решение задачи при прямоугольной форме призматического канала с допущением $I_{\rm d} = I_{\rm rp} = \frac{Q^2}{r_{\rm p}}$. Для общих случаев расчета (непризматический канал с произвольной формой поперачного сечения и гребня водослива, без донущения $i_0=i_{\rm rp}$) решение задачи можно получить путкы численного интогрирования на ЭВМ.

Преобразуем систему дифференциальных уравнений (1) гля липейно суживающегося канала прямоугольной формы. Геометрические и гидравлические параметры будут:

$$b = b_1 - \gamma l; \quad \gamma = \frac{1}{l_n}; \quad \omega = h \left(b_1 - \gamma l \right); \quad z = -\gamma l - 2 \left(h - P \right);$$

$$R = \frac{\left(b_1 - \gamma l \right) h}{q_1 - \gamma l + 2 \left(h - P \right)}; \quad C = \frac{1}{n} \quad y = 1.3 \sqrt{n}; \quad (2)$$

$$\frac{\partial \omega}{\partial h} = B = b_1 - \gamma l; \quad \frac{\partial}{\partial l} = -h$$

Учитывая эти преобразования, получим: 1

$$\frac{dh}{dl} = \frac{l_0 - \frac{Q^2 n^2}{(b_1 - \eta l)^2 h^2} \left[\frac{b_1 - \eta l + 2 (h - P)}{(b_1 - \eta l) h} \right]^{1-2} - \frac{a Q^2 \eta}{g (b_1 - \eta l)^3 h^2}}{1 - \frac{a Q^2}{g} \frac{1}{(b_1 - \eta l)^2 h^3}} - \frac{(2 - a) a Q m \sqrt{2g} (h - P)^{\eta l}}{(b_1 - \eta l)^2 h^2}}{1 - \frac{a Q^2}{g} \frac{1}{(b_1 - \eta l)^2 h^3}} - \frac{(2 - a) a Q m \sqrt{2g} (h - P)^{\eta l}}{(b_1 - \eta l)^2 h^3}}{1 - \frac{a Q^2}{g} \frac{1}{(b_1 - \eta l)^2 h^3}} - \frac{a Q^2 \eta}{g (b_1 - \eta l)^3 h^2} - \frac{a Q^2 \eta}{g (b_1 - \eta l)^3 h^2} - \frac{a Q^2 \eta}{g (b_1 - \eta l)^3 h^2} - \frac{a Q^2 \eta}{g (b_1 - \eta l)^3 h^2} - \frac{a Q^2 \eta}{g (b_1 - \eta l)^3 h^2} - \frac{a Q^2 \eta}{g (b_1 - \eta l)^3 h^2} - \frac{a Q^2 \eta}{g (b_1 - \eta l)^3 h^2} - \frac{a Q^2 \eta}{g (b_1 - \eta l)^3 h^2} - \frac{a Q^2 \eta}{g (b_1 - \eta l)^3 h^2} - \frac{a Q^2 \eta}{g (b_1 - \eta l)^3 h^2} - \frac{a Q^2 \eta}{g (b_1 - \eta l)^3 h^2} - \frac{a Q^2 \eta}{g (b_1 - \eta l)^3 h^2} - \frac{a Q^2 \eta}{g (b_1 - \eta l)^3 h^2} - \frac{a Q^2 \eta}{g (b_1 - \eta l)^3 h^2} - \frac{a Q^2 \eta}{g (b_1 - \eta l)^3 h^2} - \frac{a Q^2 \eta}{g (b_1 - \eta l)^3 h^2} - \frac{a Q^2 \eta}{g (b_1 - \eta l)^3 h^2} - \frac{a Q^2 \eta}{g (b_1 - \eta l)^3 h^2} - \frac{a Q^2 \eta}{g (b_1 - \eta l)^3 h^2} - \frac{a Q^2 \eta}{g (b_1 - \eta l)^3 h^3}$$

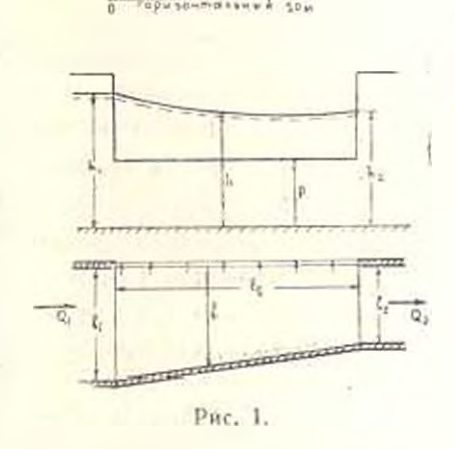
При расчете бокового водослива обычно решается обратная задача: при известных гидравлических нараметрах канала, заданного в конце водосливного участка расхода $Q_{\rm t}$ сбросного расхода $Q_{\rm t}$, определяется длина фронта водослива и, в зависимости от режима движения, глубина в начале или в конце водослива. Ниже рассматривается решение прямой залачи, т. с. при известных гидравлических характеристиках и длины водосливного фронта, а также расхода $Q_{\rm t}$, определяется сбросной расход $Q_{\rm t}$ строится кривая свободной поверхности в подосливной зоне.

При бурном режиме движения потока граничными ўсловиями будут начальный расход Q_1 и глубина в начальном сечении $h_{\rm c}$ которая диктуется гидравлическими условиями канала до водослива

Интегрируя систему (1), можно найти кривую свободной поверхности, расход жидкости в конце водосливного участка Q_2 и расход, сбрасиваемый через водослив, равный $Q_1 = Q_2 = Q_3$. Исследования [2-4]

показывают, что при бурном режиме движения кравая продольного профиля свободной поверхности потока—вогнутая кривая спада.

На рис. 1 и и табл. 1 представлены координаты свободной поверхности ливейно суживающегося в плане бокового водослива с прямоугольным поперечным сечением при бурном режиме движения потока при следующих данных: $Q_1 = 24.61 \ \text{м}^2_1 \text{c}; \ h_1 = 1.8 \ \text{м}; \ h_1 = 2.9 \ \text{u}; \ h_2 = 2.1 \ \text{m}; \ P = \text{const} = 0.9 \ \text{u}; \ n = 0.02; \ l_2 = 0.012; \ l_3 = 6.7 \ \text{m}; \ m_2 = 0.42.$

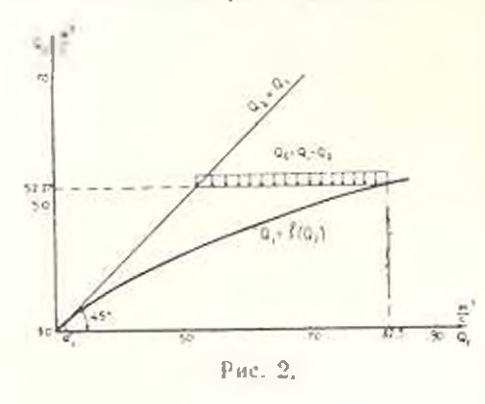


При спокойном режиме движения потока граничными условиями будут конечный расход Q_2 и глубина в конечном сечении водосливного участка h_2 , которая диктуется гидравлическими условиями канала после водослива.

Выше по течению глубина потока уменьшается до h_1 . Она всегда меньше величины нормальной глубины h_{01} , соответствующей расходу Q_1 и больше критической глубины в этом сечении. Это объясияется тем, что начало водосливного участка является частичным провалом для подходного участка канала. При полном провале $h_1 = h_{\rm KP}$. Имея h_1 , строится кривая свободной поверхности типа «b» в подходной зоне канала.

Tab.tuna 1							16.11114 I	
$I_{i}(\mathbf{z})$	0	1	2	3	4	5	6	6,7
h, м Q. м ³ с		1,702 23,16	1,652 21,89	1	1,601 19,61		1.577 17,48	1,57 16,7

Прямую вадачу в этом случае предлагаем решить методом подбора. Задаваясь произвольным значением Q_2 , решением системы (1), опре-



деляется Q_1 . Строится кривая $Q_1 = f(Q_2)$ и по ней определяется Q_2 , соответствующий данному начальному расходу Q_1 , и сбросный расход $Q_2 = Q_1 - Q_2$. Кривая свободной поверхности, соответствующая определенному расходу Q_3 , будет расчетным.

Кривая $Q_1 = f(Q_2)$ имеет следующую структуру (рис. 2). При возрастании Q_1 от нуля до некоторого Q_1^* она сливается с линией,

проведенной под углом 45°, которую назовем линией постоянного расхода. В этом интервале движение жидкости в канале происходит ниже гребия водослива. В дальнейшем, она нагибается в сторону оси Q_1 . Определенному расходу $Q_1 > Q_1$ соответствует расход $Q_2 < Q_1$. Промежуток от точки кривой, соответствующей Q_1 , до линии постоянного расхода будет сбросной расход через водолив.

Нами произведено численное решение на ЭВМ системы лифференциальных уравнений (3). В табл. 2 приведены результаты вычислений при эначениях a=1 и a=0. Аналилируя полученные результаты, приходим к выводу, что практическое совпадение расчетных опытных данных происходит при a=1.

Пример. Определить сбросный расход бокового водослива при споконном режиме движения, линейно суживающегося в плане канала при моугольного поперечного ссчения, допуская, что в конечном сеченый водосливного участка определяется нормальная глубина, для следующих начальных условий: $Q_1 = 82.5 \text{ м}^3/c$, $b_1 = 11 \text{ м}$; $b_2 = 7 \text{ м}$; P = const == 2.8 м; $I_0 = 0.00068$; n = 0.02; $I_0 = 16.3 \text{ м}$.

la C	$b_1 = 0$	604 .u, P=0,254	$m_{\pi} = 0.42$	n=0.02
	$b_2 = 0.2013 \text{ M},$ $l_0 = 1 \text{ M},$	$h_1 = 0.377 \text{ M}$, $Q_2 = 0.0254 \text{ M}^3 \text{ c}$	$l_0 = 2 \text{ M}$	h ₂ 0,311 м. Q ₂ 0,0552 м ³ с
a=0	$h_1 = 0.3513 \text{ at},$	Q ₁ = 0 = 09056i .u ³ .c	h ₁ 0, 2 945 .ir.	$Q_1 = 0.0933 \text{ m}^3 \cdot c$
s-1	$h_1 = 0.371 \ \mu_1$	$Q_1 = 0,1026 . v^4 r$	$h_1 = 0.3071 \ M_{\odot}$	$Q_1 = 0, 1026, u^3, c$
по оп ыта: [3]	M 6 0,371 .u.	Q ₁ 0.1022 a c	$h_3 = 0.3 M_1$	Q ₂ = 0,1022 .w ³ c

Решая систему дифференциальных уравнений (3), методом подбора строим кривую $Q_1=f(Q_2)$, (рис. 2, табл. 3) и по ней определяем $Q_2=52.27~{\rm M}^3.c$, соответствующий расходу $Q_1=82.5~{\rm M}^3/c$, и сбросный расход $Q_2=30.23~{\rm M}^3/c$.

*				Таблица З
Q_1 , M^3 C	38	45,06	48,64	5 5,95
Q ₁ , .и ³ ; с	42,026	60,416	71,076	94,602

Интегрируя систему (3) при граничных условиях $h_2 = h_{02} = 3.8$ м, которая соответствует расходу $Q_2 = 52.27$ м³/с, можно найти кривую свободной поверхности в водосливном участке.

ЕрПП им. К. Маркса

18. IV 1982

2. J. CAPPILIZATIA

<mark>ԿՈՎԱՑԻՆ ՋՐԱԹԱՓԻ Հ</mark>ԻԳՐԱՎԼԻԿԱԿԱՆ ՀԱՇՎԱՐԿԸ ՈՉ ՊՐԻԶՄԱՏԻԿ ՀՈՒՆԵՐՈՒՄ

Undanhaid

Գծային նեղացող և կողալին ջրաքիափ ունեցող ջրանցքի հաշվարկի հաժար ստացված է դիֆերենցիալ հավասարում Հանդարա շարժման դեպքում կուղային օրանափի հիդրավլիկական հաշվարկը առաջարկվում է կատարել $a_1 = f(Q_2)$ կորի կառուցման օղնությամբ։ $k \ge U$ -ի միջոցով դիֆֆերենցիալ հավասարման ինտեզրման թվային լուծումները համեմատված են փորձերի արդյունցների հետ։ Շեղումները դործնականում աննչան են, երբ a = 1

ЛИТЕРАТУРА

- I Саравочник по гидравлическим расчетом/Под ред П Г Киселена. М.: Эпергия, 1972.— 312 с.
- Наполь Х. А. Примеры гидраждических расчетов водопропускимх сооружений Киев: Будівильняк, 1975.— 148 с.
- 1. Руднен С. С. Боковые водосбросы.- М.-Л.; Эпергопадат, 1941.- 120 с.
- 4. De Marchi C. Saggio di teorta del funsionamento degli stramazza laterali (o siloratori longitudinali). L'Energia Elettrica, 1931, Nº XI.
- Engles H. Mitteilungen aus dem Drezdener Flussbaula boratorium, Forschungsarbeiten aus dem Gebiete des Ingenieurwesens. Berlin — Verlag VDI. — 1917.

2434444 UU2 9480448044644 ичи 4 на вестия академии на ук армянской сср

Տեխնիկական գիտութ, սեբիա

XXXVI. Nº 3, 1983

Серия технических наук

научные заметки

В В. МЕНЬШИКОВ, Б С ЭЛЬКИН

МЕТОД РАСЧЕТА СТАЦИОНАРНЫХ ТЕМПЕРАТУРНЫХ ПОЛЕП В РАДИОЭЛЕКТРОННЫХ АППАРАТАХ С ЕСТЕСТВЕННОЙ КОНВЕКЦИЕП

В исследовании температурных режимов радиоэлектронных аппаратов (РЭА) кассетной конструкции на интегральных схемах (ИС) с герметичным кожухом [1] предполагалось, что источники тепла (ИТ) распределены по всем илатам равномерно, зазоры между платами и скорости воздуха во всех каналах одинаковы. При определении скорости поздуха взаимное влияние каналов не учитывалось, а также предполагалось, что зазор между нагретой зоной и корпусом РЭА достаточно велик. В танной работе предполагается, что расходы и температурные

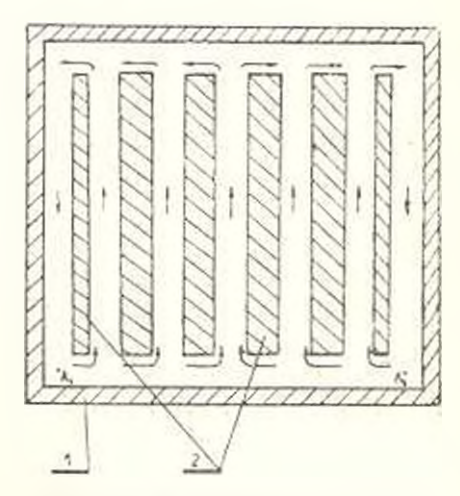


Рис. 7 - корпус РЭА, 2 - плата.

поля воздуха в каналах различны, а расположение ИТ является произвольным.

Нагрев ИС вызывает движение воздуха (рис.). Предположим, что переток тепла по плате и корпусу отсутствует. Пусть число плат равно N+2, из них первая и последняя не имеют источников тепла и служат для эффективной организации движения воздуха. Соответственно, число вертякальных каналов равно N+3, а верхнижним: N+2. Предполагаем течение воздуха в каждом из какалов даминарным и установившимся,

направление вектора скорости нараллельным оси канала, давление в любой гочке заданного поперечного сечения канада одним и тем же. а местные сопротивления пропорциональными скорости течения.

Решение краевой задачи v''=-1, v(0)=v(5)=0 пропорционально полю скоростей в канале толщиной δ , τ , ϵ , поле скоростей о пределяется по формуле $V_i=K_i$ v_i $(i=1,\ldots,3N+7)$, где K_i же-

известные коэффициенты. Положительным для скорости в вертикальных каналах примем направление вверх, а в горизонтальных слева направо. Уравнения неразрывности при введенных выше допущенных сводятся к системе из 2N + 5 линенных ялгебранческих уравнений для С учетом сделанных предположении уравнения Павье-Стокса в каждом из каналов заменяются одинм уравнением [2]:

$$\frac{\partial p}{\partial z} = \mu \left(T(z) \right) \frac{\partial^2 V}{\partial x^2} + K_z, \tag{1}$$

где x, z— соответственно, координата, перпендикулярная оси канала и совпадающая с положительным направлением вектора скорости; μ — коэффициент динамической вязкости: K_z — проекция массовой силы на ось z; V— скорость воздуха. В горизонтальных каналах $K_z = 0$, а в вертикальных — $K_z = \pm \gamma (T(z)) g$. Здесь T— температура воздуха, x— ускорение силы тяжести.

Предлоложим, что нам известны температурные поля воздуха в каналах. Интегрируя (1) по N+2 замкнутым контурам, получим еще N+2 линейных алгебраических уравнений для K_I . Преобразуя лолученные уравнения и исключая ряд неизвестных, приходим к системе:

$$\begin{cases} K_{1} = \chi_{1} K_{2} + v_{1}; \\ K_{N+2} = \chi_{2} K_{N+1} + v_{2}; \\ A_{1} K_{1-1} - C_{1} K_{1} + B_{1} K_{1+1} = -F_{1} \quad (i = 2, ..., N+1), \end{cases}$$
(2)

причем

$$0 < \chi_1 < 1$$
, $0 < \chi_2 < 1$, $A_1 > 0$, $B_1 > 0$, $C_1 > A_1 + B_1$. (3)

Получена система N-2 линейных алгебраических уравнений с N+2 неизвестными. Элементы матрицы системы (2) удовлетворяют условиям (3), поэтому для се решения можно использовать метод прогонки, ивляющийся прямым и наиболее эффективным способом для решения систем подобного вида.

Предположим, что задано поле скоростей в каналах, т. е. известны коэффициенты K_i (i=1,...,3K-7) и по ним определяются расходы воздуха в каналах b_i . Если коэффициент K>0, то направление движения воздуха в соответствующем канале совпадает с принитым выше положительным направлением, в случае K<0 движение осуществляется в противоположном направлении. Температурное поле в каналах описывается решением задачи (4), (5) в каналах, граничащих с корпусом:

$$a_{i}T_{i}(z) + T_{i}(z) = a_{in}^{i}u_{in} + Q_{i}(z); T_{i}(0) = T_{i}^{0}, (4)$$

н во внутрениих вертикальных каналах:

$$a_i T_i^*(z) = Q_i(z); \qquad T_i(0) = T_i^0.$$
 (5)

Здесь $a_i = b_i \, c_i : c_i$ — удельная теплоемкость воздуха при среды температуре воздуха в канале: T^0 — температура воздуха на входе в канал; z — координата, совпадающая с направлением движения воздуха: $\mathbf{a}^i_{\ p}$ — приведенный коэффициент теплоотдачи от воздуха в канал к окружающей среде, учитывающий теплоотдачу от воздуха к корпуст корпуса к окружающей среде и тепловое сопротивление корпуст $Q_i(z)$ — тепловой поток к воздуху в канале от соседией платы: u_{cp} — температура окружающей среды.

В рассматриваемых гадачах неизвестны температуры T^{\bullet} , поэтом залачи (4), (5) не могут быть решены без состыковки температур в входах и выходах из каналов Предположим, что направления воздушных потоков совпадают с направлениями, илображенными на ри-В этом случае смена направлений лвижения воздуха в пертикальных каналах происхолит два рада. Под системой опорных точек будем попимать точки, обладающие следующим свойством задающись произпольными значениями температур в этих точках и решая задачи (4),
(5), можно однозначно определять температурные поля в каналах. Число опорных точек равно числу смен направлений движения воздуха и вертикальных каналах В рассматриваемом парианте в качести опорных точек можно использовать, например, пару A_{ij} , A_{ij} . Температура ногдуха в местах слияния потоков из ляух каналон определяется как среднемассовая

Зададимся температурами $T_+ = 1$. Решая задачи (4), (5), последовательно найдем температурные поля во всех каналах — 7. Задамся температурами $T_A = 1$, $T_A = 0$ и $T_A = 0$. Решай однородые уравнения (4), (5), последовательно найдем температурные поля во всех каналах — T и T. В силу линейности искомов температурное поле в каналах можно представить в виде

$$T + r_1 T + r_2 T, \tag{6}$$

где r_1 и r_2 определяются из условия непрерывности поля в точках A_1 и A_2

Построим алгоритм адачи Заладимся начальными значеннями $K_i^{(0)}$ ($i=1,...,3\Lambda-7$) и средними температурами воздуха в каналь для нахожления c. Выбрав систему опорных точек, найлем температуриве поля во всех каналах. Затем находим коэффициенты $K^{(0)}$ во всех каналах. Положим в качестве первого приближения к искомым коэффициентам K в каналах

$$K^{(1)} = (1 - t) \tilde{\Lambda}^{(1)} + t K^{(0)} \quad (0 \le t \le 1). \tag{7}$$

где параметр I служит для стабилизации итерационного процесса. Далее вычислительный процесс проводится рекуррентно и продолжается до достижения необходимой точности. Сходимость предложенного итерационного процесса аналитически доказана на простых контурах для движущегося поздуха. В случае системы каналов, изображенной на рис., сходимость процесса проверена путем численного эксперимента на ЭВМ. Из структуры алгоритма очевидно, что сходящийся итерационный процесс может приводить лишь к решению исходной задачи.

В случае нестационарного температурного поля на платах и корпусе рассматривается нестационарное уравнение теплопроводности. Выбираются узлы сетки по времени. Переход от n-го к (n-1) му узлу по времени осуществляется следующим образом. Вначале определяется температурное поле илат и корпуса, используя температурное поле возлуха в n-й момент времени. По вышеописанному итерационному нессу определяется температурное поле воздуха, используя температурное поле длат и корпуса в (n+1)-й момент времени.

По предложенному методу были проведены расчеты. Для РЭА из 8 тепловыделяющих плат, на каждой из которых выделилась одинаковая суммарная мощность, перавномерно распределенная по плате, при обычных теплофизических характеристиках были получены различные расходы воздуха в вертикальных каналах. Отношение наибольшего расхода к наименьшему равно 1,169.

ХГУ им. А. М. Горького.

18 IV 1982

JUTEPATYPA

- 1. Дульнев I H., Тарновский H. H. Тепловые режимы электронной анпаратуры.— I1.: Энергия, 1971.— 248 с.
- 2. Горбунцов Д. А. Меньшиков В. В., Элькин Б. С. Об одном методе решения системы илгебр имеских уравнении специального вида с большим инслом ненавестных Библиографический указатель ВИНИТИ «Депоипрованные рукопиен», № 7, 610-120, 1979, 21 с

2U34U4U6 UU2 9PSNP#3NP666PP U4U46UFU3P S6Q6HU4PP ИЗВЕСТИЯ АКАДЕМИИ НАУК АРМЯПСКОЯ ССР

Տեխնիկական գիտութ, սնշիա

XXXV1, № 3, 1983

Серпя технических наук

НАУЧНЫЕ ЗАМЕТКИ

С. Г. КАРАМЯН, В. М. ТАРЕЕВ, Б. Я. БРАНЗБУРГ

ЭКРАПИРОВАНИЕ КАБЕЛЕЙ МЕТАЛЛИЗИРОВАПНОЙ ПЛЕПКОЙ

Процесс наложения медной оплетки в экранированных кабелях и проводах является одним из малопроизводительных технологических процессов в кабельной промышленности, а сама медная оплетка — одним из материалоемких элементов конструкции. Реэкое повышение производительности изготовления экранов и большая экономия меди определяют работы по замене экранов из медной оплетки металлизированными пленками как весьма актуальные. К недостаткам медной оплетки следует отнести также отсутствие четкой теории расчета затухания экранирования в стадии разработки кабелей: неодинаковый контакт между отдельными проволоками, различная величина и оряентания просветов в оплетке приводят к сложной и непостоянной зависимости затухания экранирования Л, от частоты.

Чтобы выбрать конструкцию металлизированной пленки, необходимо рассчитать толщину металлического слоя и полимерной пленки и выбрать материалы, удовлетворяющие параметрам экранирования и гибкости кабеля.

Выбор толщины алюминиевой фольги, эквивалентной по эффективности экранирования медной оплетке, можно осуществить, известным методом расчета затухания экранирования или сплониых цилиндрических экранов [1]:

$A_s = 20 \lg \left[\cosh \right] / K t \delta B_s$

где t — голинина внешнего проводника; k — коэффициент вихревых токов.

Расчеты показали, что для частот 50 МГц и выше достаточно иметь алюминиевую фольту толинной 0,06 мм. При такой толиние алюминиевая фольта не обладает достаточной механической прочностью, поэтому необходимо усилить ее эластичными полимерными пленками.

Разработанная металлизированная пленка представляет собой полиэтилентерефталатную пленку толщиной 0.02 мм, склеенную с двух сторон алюминиевой фольгой марки A5-M толщиной 0.03 мм. Толщина клеевого слоя марки ТФ-82 составляет 0.006 ... 0.01 мм на каждую из сторон. Двусторонняя металлизированиая иленка имеет ряд преимуществ перед односторонией. Она более эластичная, что позволяет накладывать ее продольно по длине кабеля, надежнее при изтотовлении я эксплуатации кабеля ввиду малой вероятности повреждения фольги с лвух сторон в одном и том же месте пленки, создает электрический контакт между разносторонними слоями алюминиевой фольги в месте перекрытия, что важно для получения электрически более герметичного экрана. Продольное наложение металлизированной пленки позволяет резко повысить произвожительность изготовления экранов до 100 м/мин выше, совместить технологические процессы наложения экрана и оболочки, повысить эффективность экранирования по сравнению со спиравльным способом наложения [2].

Из двусторонней металлизированной пленки была изготовлена опытная партия радиочастотных кабелей марки РК 75-4-11.

Опытные образцы металлизированных пленок испытывались на длительное воздействие температур с целью определения их стойности

к различным температурным режимам, а такжи выяснения возможности разработки методики ускоренной оденки нагревостойкости. Длительность каждого цикла испытаний составляла 1000, 430 и 141 ч.

Предел прочности на растяжение убывает при длительном воздействии различных температурных режимов почти с одинаковой скоростью, от 115 до 95 МПа (рис. 1). Характер изменения относительного удлинения запи соответствует вышеуказанному при возлействии +120°С в течение до 400 ч. после чего начинается резкое снижение. В остальных температурных режимах (85 и 100 С)

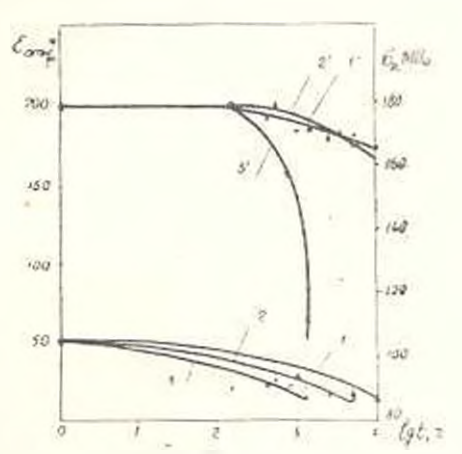


Рис. 1. Записимость $\sigma_{\rm p}$ и $\sigma_{\rm org}$ от даительности воздействия г-мператур 1g t - t, t' = $\frac{1}{4}$ 85 C - 2, 2' — $\frac{1}{4}$ 100°C - 3, 3' — $\frac{1}{4}$ 120°C.

наблюдаются идентичность изменения контролируемых параметров и постоянство скорости старания металлизированных пленок.

Испытания опытных образцов кабелей РК 75-4-11 е экраном из продольноваложенной двусторонней металлизированиой пленки показали, что они по эффективности экранирования превосходят базисные наделия (табл.).

Результаты испытаний показали (рис. 2), что волновое сопротивление Z_{**} коэффициент затухания α , сопротивление сиязи Z_{**} или затухание экраинрования A_* опытных образцов изменяются незначительно при длительном воздействил гемпературы + 85° C в течение 10000 α (инимальная наработка указанных кабелей по ГОСТ 11326.8-79). Значения коэффициента затухания приведены для 200 $M\Gamma \alpha$.

	PK 75-4-11		
Контролируеные параметры	с экраном в янле медной оплетки	с экраном на металин- конивнофиятирования	
Коэффициент затухания на частоте 200 МГц, дБ/м Затухание экранирования, дБ	0,11 38	0,09 58	

В указанном стандарте не предусмотрено требонание стойкости радночастотных кабелей к многократным перегибам. В связи с тем, что предполагалось ухудшение гибкости кабеля, а также с целью установления минимальных величин перегибов для различных видов укранов, проводились испытания кабелей на стойкость к многократным перегибам.

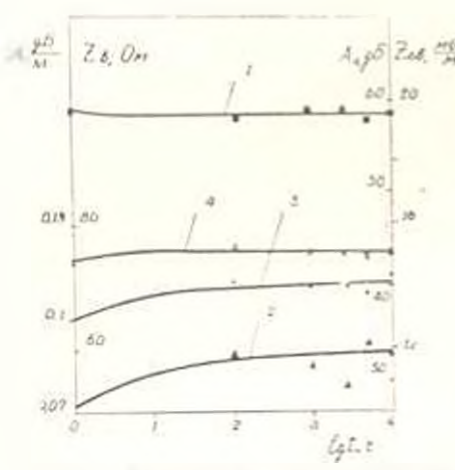


Рис. 2. Ваянсимость A_2 (1), $Z_{\rm ca}$ (2) α (3) и $Z_{\rm c}$ (4) от даительности воздействия температуры Ig $t = 85^{\circ}$ С.

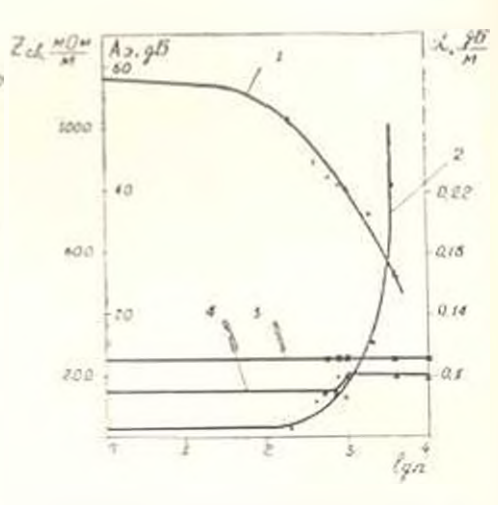


Рис. 3. Зависимость . 4, (1), Z_{св.} (2) и г (3) кабеля РК 75—4—11 с экраном из двусторонней металлизированной пленки и г (4) базисного кабеля РК 75–4—11 от количества перегибон 1g n.

Коэффициент затухания у кабеля с экраном из медной оплетки после 6000 верегибов не изменился (рис. 3). У опытного образца после 200 перегибов наблюдался скачок коэффициента затухания от 0.09 до 0.1 дБДи, после чето оставался стабильным в течение 6000 перегибов.

Это объясияется тем, что поеле 200 перегибов на поверхности алюминиевой фольти образуются трешины и ток в этих местах протекает только по луженому проводнику При дальнейших перегибах кабеля размеры грешин звеличиваются без образования новых, поэтому коэффициент затухания в дальненшем стабилизируется, а сопротивление связи продолжает увеличиваться и после 1000 перегибов превышает требуемую норму (200 мОм я). Следовательно, пелесообразио металли-

энрованные пленки применять в конструкциях кабелей, которые при **эксплуатации** подвергаются не более, чем 500—600 перегибам.

Проведенные работы показали, что металлизированная пленка имеет ряд преимуществ по сравнению с медной оплеткой и может быть применена в качестве экрана кабелей и проволов, подвергающихся ограниченному количеству пересибов, например, таких, как кабели для коллективных телевизионных антенн типа РК с индексом АК, КПГА кабели управления марок КУПР, КУПВ с экранированными жилами и другие.

Ереванск. отл. ВИННКП

10 V 1982

ЛИТЕРАТУРА

Белоруссов И. И., Греднев И. И. Радиочастотные кабели — М. Элергия, 1973.—63 с.
 Гроднев И. И., Сергейчук К. Я. Экранирование аппаратуры и кабелен сиязи — М. Связывалат, 1960.—198 с.

enguaruntesart

	45
7-լաևՐԱՐԱԿԱՆ ՄՍԽԱՆԻԿԱ	
ш Պ Կիгիլով, Ա Վ, Սինուսյուն։ Գիծաժիկական հաժակարդերի կրողանակության նպա- տականարժար սպատգործումբ դուզակցված վնասվածջի դեպցում	3
ξ 5 b 6 % b 8 5 ¼ ll.	
Հ Էլմայան։ Հերաքարմումը օպտիմիզուցման մի ինդրի լուծումը դինամիկ ծրուզրավորման մենոդով	ő
ՀԱՇՎՈՂԱԿԱՆ ՏեԽԵԺՈ	
Վ Կ. Բշուայան։ «տաամական փոփոխվող դործակիցներով Մարկովյան դեկավարելի Հաժակարդի սինքեցժան ժասին Ա. Մ Սիշղոյան, Դ. Լ Վանրասչյան։ Բներցիոն օրյնկաների ծայրանեղ ղեկավարժան ձնափոխված ալգորինժ ոյ դծային ստատիկական բնունագրի հորիզոնական տե-	13
զողարժի ասկայություն դեպրում	21
ՉԱՓՈՂԱԿԱՆ ՏԵԵՆԻԿԱ	
1. Լ. Առեջյան, Օ. Վ. Լեռնով, Ա. Ս. Շաղգամյան Ակտիվ ֆիլաբով СҚТ և СБК տիպի «հյովսվետրի փոխանցման ֆունկցիաննրը և դինաժիկական բնութագրնըը Վ. Ի. Կողեչով, Ռ. Դ. Հակոբյան Քացվածջի գոտում ֆողավորվամ անտեննային ցանցի դինաժիկական բնութագրերի չափման նվազագույն Հեռավորության սաժմանափակ-	26
ման մասին	33
2 to 4 to 4 L to 6 L	
🌲 Վ. Թոքմասյան։ Կողային ջրաթափի Դիդրավլիկական հայվարկը ոլ պրիզմատիկ հուներում	13
· ԳԻՏԱԿԱՆ ՆՈԹԵՐ	
Վ. Վ. Մենթիկով, Ռ. Ս. Էկին Բևական չերժատեղափոխումով ռագիոելներորձեային սար-	
րերի կայունացվում բերմաստինահային դաշտերի հաշվարկման մեքող Ս. Հ. Քաշամյան, Բ. Մ. Տաշեև, Բ. Յա. Բշանգբութգ։ Կարելների էկրահավորումը մե-	42
and the second s	4.6

СОДЕРЖАНИЕ

			Стр.
		СТРОИТЕЛЬНАЯ МЕХАНИКА	
1.	Л.	Кириллов, А В Минасям Рациональное использование несущей способности динамических систем при комбинационном повреждении	3
		ЭНЕРГЕТИКА	
Ш	. А	. Элмоям. Решение одной задачи оптимизации с запаздывающим управлением методом динамического программирования	S
		вычислительная техника	
		<i>Брутян</i> . О синтезе марковских управляющих систем со случайно изменяющимися коэффициентами	13
Л.	Δ1,	Мирзоян Г. Л. Кантарджин. Модифицированный алгоритм экстремального управления инерционными объектами при наличии горизонтального дрейфа нелинейной статической характеристики	21
		измерительная техника	
Γ.	Л.	Арешян, О. В. Леонов, А. С. Шахкамян. Передаточные функции и анализ динамических характеристик сейсмометров СГК и СВК с активным фильтром	26
A.	Н.	Кулешов, Р. Г. Акопян. Об ограничениях на минимально допустимые рас- стояния при намерениях динамических параметров ФАР в доне расхрыва	32
		ГИДРАВЛИКА	
0.	₿.	Токмаджям, Гидравлический расчет бокового водослива в непризматическом русле	.18
		научные заметки	
В	В.	Меньшикая, Б. С. Элькин. Метол расчета стационарных температурных по-	
		лей в радноэлектронных аппаратах с естественной конвекцией	42
		зированной пленкой	46